



مؤسسه آموزش عالی غیر دولتی غیر انتفاعی انرژی

مدلسازی و شبیه سازی فرآیند جذب نوسانی فشار - دما به منظور حذف مرکاپتان از گاز طبیعی مرطوب

پایان نامه یا رساله برای دریافت درجه کارشناسی ارشد
در رشته مهندسی مکانیک گرایش تبدیل انرژی

نام دانشجو

رضا ساوجی فرد

استاد راهنمای اول:

دکتر یوسف یاسی

استاد راهنمای دوم :

دکتر حیدر مدادح

خرداد ماه ۱۴۰۰



مؤسسه آموزش عالی غیر دولتی غیر انتفاعی انرژی

مدلسازی و شبیه سازی فرآیند جذب نوسانی فشار - دما به منظور حذف مرکاپتان از گاز طبیعی مرطوب

پایان نامه یا رساله برای دریافت درجه کارشناسی ارشد
در رشته مهندسی مکانیک - گرایش تبدیل انرژی

نام دانشجو

رضا ساوجی فرد

استاد راهنمای اول:

دکتر یوسف یاسی

استاد راهنمای دوم :

دکتر حیدر مدادح

بِسْمِ اللّٰهِ الرَّحْمٰنِ الرَّحِيْمِ

تأییدیه‌ی صحت و اصالت نتایج

با اسمه تعالی

اینجانب رضا ساوجی فرد به شماره دانشجویی ۹۸۱۳۵۲۸۰۰۲ دانشجوی رشته مهندسی مکانیک- تبدیل انرژی مقطع تحصیلی کارشناسی ارشد تأیید می‌نمایم که کلیه‌ی نتایج این پایان‌نامه/رساله حاصل کار اینجانب و بدون هرگونه دخل و تصرف است و موارد نسخه‌برداری شده از آثار دیگران را با ذکر کامل مشخصات منبع ذکر کرده‌ام. درصورت اثبات خلاف مندرجات فوق، به تشخیص دانشگاه مطابق با ضوابط و مقررات حاکم (قانون حمایت از حقوق مؤلفان و مصنفان و قانون ترجمه و تکثیر کتب و نشریات و آثار صوتی، ضوابط و مقررات آموزشی، پژوهشی و انضباطی ...) با اینجانب رفتار خواهد شد و حق هرگونه اعتراض درخصوص احراق حقوق مکتب و تشخیص و تعیین تخلف و مجازات را از خویش سلب می‌نمایم. در ضمن، مسؤولیت هرگونه پاسخگویی به اشخاص اعم از حقیقی و حقوقی و مراجع ذی‌صلاح (اعم از اداری و قضایی) به عهده‌ی اینجانب خواهد بود و دانشگاه هیچ‌گونه مسؤولیتی در این خصوص نخواهد داشت.

نام و نام خانوادگی: رضا ساوجی فرد

امضا و تاریخ:

مجوز بهره‌برداری از پایان‌نامه

بهره‌برداری از این پایان‌نامه در چهارچوب مقررات کتابخانه و با توجه به محدودیتی که توسط استاد راهنمای شرح زیر تعیین می‌شود، بلامانع است:

- بهره‌برداری از این پایان‌نامه/رساله برای همگان بلامانع است.
- بهره‌برداری از این پایان‌نامه/رساله با اخذ مجوز از استاد راهنمای، بلامانع است.
- بهره‌برداری از این پایان‌نامه/رساله تا تاریخ ممنوع است.

نام استاد یا استادی راهنمای: دکتر یوسف یاسی – دکتر حیدر مداح

تاریخ:

امضا:



به نام خدا

مذکور از همانند جویی

بر پایه قانون پیشگیری و مقابله با تقلب در تهیه آثار علمی (صوب ۳۱ مرداد ۱۳۹۶ مجلس شورای اسلامی) و آیین قاعده اجرایی آن (شماره ۱۶۶۱۲/۵۵۶۸۶) صوب ۲۲ مرداد ۱۳۹۶ هیئت وزیران و آیین قاعده شماره ۱۹۰۹۲۹ او تاریخ ۶ آذر ۱۳۹۵ وزارت علوم، تحقیقات، و فناوری

با اسلام و احترام

نوشtar بارگذاری شده در سامانه همانندجو (دارای ۹۶۸۳ واژه) در تاریخ ۱۴۰۰/۱/۱۶ با نام:
مدلسازی و شبیه سازی فرآیند جدب نوسانی فشار - دما به منظور حذف موکاپتان از گاز طبیعی مروطوب

به درخواست خانم / آقای رضا ساوجی فرد

با شماره ملی / گندرنامه ۶۰۲۳۳۳۰۵۹

دارای ۱۲ (دوازده) درصد همانندی با منابع دیگر در پایگاه های ایرانداز است.

برای دیدن همانندی های متن بارگذاری شده با منابع دیگر (اگر داشته باشد) می توانید به نشانی

3b3decbe-3ece-4273-b81e-b0d0ef0f2ca5 بروید و مشاهده کنید.

را وارد کنید. فایل تمام متن نوشtar بارگذاری شده و همانندی های آن با منابع دیگر (اگر داشته باشد) بزرگ در کارپوش شما در سامانه همانندجو در دسترس است. آن را تایید کنید.

برای دریافت اطلاعات بیشتر با رایانه info@tik.irandoc.ac.ir، تلفن شماره ۰۲۱-۶۶۹۵۶۸۱۱ در روزهای کاری از ساعت ۸ تا ۱۶، و تلفن شماره ۰۹۰-۲۷۹۴۴۶۰ در روزهای کاری از ساعت ۱۶ تا ۱۸ و در روزهای پنج شنبه از ساعت ۸ تا ۱۸ نماینده بگیرید. ایرانداز خدمت به کاربران را افتخار می دارد و از اینکه سامانه همانندجو را به کار می برد، از شما سپاسگزار است.

فرهاد شیری
راهبر سامانه همانندجو

آغاز نیم قریب دوم نهاده از شعبانه ایرانداز به علم، فناوری، و فناوری کرامت باد (۱۴۰۰-۱۴۰۱)

تعدادیم به:

خانواده عزیزم

مشکر و قدردانی:

از اساتید گراحته ر

چکیده

شبیه سازی فرآیند جذب نوسانی فشار- دما (PTSA) در طی شش مرحله‌ی متوالی از عملیات چرخه‌ای برای حذف مرکاپتان‌ها از گاز طبیعی در یک سیستم جذب شش بستری دو لایه تجاری انجام شد. خوراک آن مخلوطی از متان با بخار آب، دی‌اکسید کربن، هیدروکربن‌های سنگین (C_3^+) و ناخالصی‌های مرکاپتان است. این فرآیند به منظور کاهش مداوم محتوای مرکاپتان از ۱۳۴ به کمتر از ۱۰ ppmv که به عنوان سطح استاندارد در مقررات زیست محیطی تعیین می‌شود، در حالت عملیاتی چرخه‌ای کار می‌کند. این بستر از دو لایه آلومینای فعال تشکیل شده است، که به طور خاص، به ترتیب بخار آب و زئولیت $X13$ را به منظور حذف مرکاپتان از گاز طبیعی پاک می‌کند. مراحل چرخه همچون جذب در فشار بالا، کاهش میزان فشار، گرم شدن در دو مرحله با تخلیص گاز طبیعی خالص گرم، خنک سازی ستون و افزایش میزان فشار با تأمین خوراک به صورت متوالی شبیه سازی شد. معادلات مدل پویا از تعادل‌های چهار مول، ساخته شده است؛ مولکول مدل مرکاپتان‌ها، مولکول مدل هیدروکربن‌های سنگین، دی‌اکسید کربن و بخار آب موجود در گاز طبیعی، تعادل جرم کل، معادله افت فشار و دو تعادل انرژی مشکل از فازهای جامد و گاز در ستون آدیاباتیک. این نکته مشاهده شد که روند جذب چرخه‌ای پس از هفت چرخه اجرای برنامه، به شرایط ثابت نزدیک می‌شود. کسرهای مولی پیش‌بینی شده از این فرآیند با نتایج واقعی مقایسه شد و سازگاری خوبی بین داده‌های واقعی و نتایج شبیه سازی شده، مشاهده گردید. پارامترهای تأثیرگذار فرآیند از طریق تحلیل پارامتری کارایی فرآیند، بررسی شد. فشار موجود در مرحله جذب، نسبت روند تصفیه به خوراک در مرحله بازسازی و دمای مراحل گرمایشی ۱ و ۲ به عنوان مهم ترین پارامترهای مؤثر بر بازده تصفیه گاز طبیعی بودند. به منظور صرفه جویی در مصرف انرژی، پیشنهادهایی برای ارتقاء شرایط طراحی بدون تأثیر قابل توجه بر عملکرد تصفیه، ارائه شد. نتایج نشان داد که کاهش فشار جذبی از ۶.۱ به ۶.۸ مگاپاسکال، تغییر نسبت تصفیه / خوراک از ۰.۰۴۵ به ۰.۰۶ و ترکیب دو مرحله گرمایشی به یک مرحله با توجه به عملکرد آن در دمای ۵۱۰ کلوین در مدت ۱۲ ساعت می‌تواند در شرایط عملیاتی و بدون ایجاد تغییرات قابل توجه در پالایش محصول، جایگزین شود.

واژه‌های کلیدی: شبیه سازی، پالایش گاز طبیعی، حذف مرکاپتان، فرایند جذب چرخه‌ای

فهرست مطالب

۱	فصل ۱: مقدمه
۲	۱-۱- مقدمه
۵	۲-۱- شیوه های شیرین سازی گاز
۶	۳-۱- آمین ها
۱۰	فصل ۲: مروری بر منابع
۱۱	۱-۲- مروری بر منابع
۱۷	فصل ۳: روش تحقیق
۱۸	۱-۳- مدل سازی ریاضی
۱۸	۱-۱-۱- معادلات حالت
۱۹	۱-۲-۱- تعادل جرم
۲۰	۱-۳-۱-۱- تعادل انرژی
۲۱	۱-۲-۲- ایزوترم های جذب و گرمای جذب
۲۳	۱-۳-۲- تشریح فرایند
۲۸	۱-۴- راهکار عددی
۳۰	۲-۴-۱- همگرایی حالت پایدار چرخه ای
۳۰	۲-۴-۲- حل عددی معادلات موازنه جرم و انرژی
۳۲	فصل ۴: نتایج و تفسیر آنها
۳۳	۴-۱- اعتبار سنجی
۳۴	۴-۲- نتایج حاصل از شبیه سازی
۳۴	۴-۲-۱- منحنی های پیشرفت
۳۹	۴-۲-۲- مناطق انتقال جرم (MTZ)
۴۴	۴-۳-۲- تغییر درجه حرارت ماده جامد
۴۵	۴-۳-۳- آنالیز پارامتری
۴۵	۴-۳-۴-۱- اثر ترکیب خوراک
۴۹	۴-۳-۲-۲- تأثیر فشار بر مرحله جذب
۵۰	۴-۳-۳- تأثیر دمای بازسازی
۵۳	۴-۳-۴- منحنی پیشرفت در شرایط جدید

فهرست مطالب

۵۵.....	فصل ۵: جمع‌بندی و پیشنهادها
۵۶.....	۱-۵- نتیجه گیری

فهرست اشکال

شکل (۱-۳) نمودار شماتیک چرخه PTSA با شش بستر و مراحل متوالی (سه بستر اولیه در حالت دمای پایین و فشار بالا، دو بستر بعدی در شرایط فشار کم و دمای بالا و مورد آخر در فشار و دمای پایین قرار دارند).....	۲۴
شکل (۲-۳) توالی اتصال بستر برای سیستم چند لایه PTSA با شش بستر.....	۲۵
شکل (۳-۳) فشار عملیاتی بستر (A)؛ با زمان سپری شده در یک چرخه PTSA.....	۲۷
شکل (۴-۳) دما عملیاتی بستر (B)؛ با زمان سپری شده در یک چرخه PTSA.....	۲۷
شکل (۵-۳) نوسانی بودن نتایج در صورت انتخاب طول گام نا مناسب.....	۳۱
شکل (۶-۱) مقایسه نتایج شبیه سازی شده وداده های عملیاتی برای ترکیب خروجی مرکاپتان و بخار آب موجود در گاز طبیعی.	۳۳
شکل (۶-۴) مقایسه بین نتیجه حاصل از شبیه سازی و داده های واقعی کارخانه برای منحنی پیشرفت مرکاپتان.....	۳۴
شکل (۷-۴) منحنی های پیشرفت مرکاپتان در مرحله جذب در قسمت های مختلف بستر در شرایط ثابت.....	۳۵
شکل (۸-۴) منحنی های پیشرفت بخار آب در مرحله جذب در قسمت های مختلف بستر در شرایط ثابت.....	۳۵
شکل (۹-۴) منحنی های پیشرفت دی اکسید کربن؛ در مرحله جذب در قسمت های مختلف بستر در شرایط ثابت.....	۳۶
شکل (۱۰-۴) غلظت فاز جذب شده در مقابل زمان برای مرکاپتان؛ در قسمت های مختلف بستر در شرایط ثابت.....	۳۷
شکل (۱۱-۴) غلظت فاز جذب شده در مقابل زمان برای هیدروکربن های سنگین؛ در قسمت های مختلف بستر در شرایط ثابت.	۳۷
شکل (۱۲-۴) غلظت فاز جذب شده در مقابل زمان برای بخار آب؛ در قسمت های مختلف بستر در شرایط ثابت.....	۳۸
شکل (۱۳-۴) غلظت فاز جذب شده در مقابل زمان برای دی اکسید کربن؛ در قسمت های مختلف بستر در شرایط ثابت.....	۳۸
شکل (۱۴-۴) MTZ مرکاپتان؛ در زمان های مختلف مرحله جذب در حالت پایدار.....	۳۹
شکل (۱۵-۴) MTZ هیدروکربن های سنگین؛ در زمان های مختلف مرحله جذب در حالت پایدار.....	۴۰
شکل (۱۶-۴) MTZ بخار آب؛ در زمان های مختلف مرحله جذب در حالت پایدار.....	۴۰
شکل (۱۷-۴) MTZ دی اکسید کربن؛ در زمان های مختلف مرحله جذب در حالت پایدار.....	۴۱
شکل (۱۸-۴) کسر مولی محوری در فاز گاز، مرکاپتان؛ در زمان های مختلف مرحله اول و دوم گرمایش در شرایط پایدار.....	۴۲
شکل (۱۹-۴) کسر مولی محوری در فاز گاز، هیدروکربن های سنگین؛ در زمان های مختلف مرحله اول و دوم گرمایش در شرایط پایدار.....	۴۲
شکل (۲۰-۴) تغییرات دمایی در هر چرخه در قسمت های مختلف بستر از پایین به بالا، در شرایط ثابت.....	۴۳
شکل (۲۱-۴) مقایسه بین منحنی های پیشرفت مرکاپتان خروجی در حالت جذب، برای بخش های مختلف مول ورودی (۷۰) دی اکسید کربن؛ در حالت پایدار.....	۴۶

فهرست اشکال

شکل (۲۰-۴) مقایسه بین منحنی های پیشرفت مرکاپتان خروجی در حالت جذب، برای بخش های مختلف مولی ورودی (۷۰)	۴۶
هیدروکربن های سنگین ؛ در حالت پایدار.....	۴۶
شکل (۲۱-۴) اثر کسر مولی ورودی در مرکاپتان ؛ بر روی کسر مولی خروجی مرکاپتان در شرایط پایدار.....	۴۷
شکل (۲۲-۴) اثر کسر مولی ورودی در بخار آب بر روی کسر مولی خروجی مرکاپتان در شرایط پایدار.....	۴۸
شکل (۲۳-۴) تأثیر ارتفاع AC بر کسر مولی مرکاپتان و خروجی بخار آب، در حالت پایدار.....	۴۹
شکل (۲۴-۴) تأثیر فشار مرحله جذب بر کسر مولی خروجی مرکاپتان و بخار آب، در شرایط پایدار.....	۵۰
شکل (۲۵-۴) تأثیر دمای بازسازی بر مرکاپتان خروجی و کسر مولی بخار آب در مرحله اول ؛ در حالت پایدار.....	۵۱
شکل (۲۶-۴) تأثیر دمای بازسازی بر مرکاپتان خروجی و کسر مولی بخار آب در مرحله دوم (B)؛ در حالت پایدار.....	۵۲
شکل (۲۷-۴) کسر مولی خروجی مرکاپتان در دمای مختلف بازسازی به مدت ۱۲ ساعت در یک مرحله گرمایشی در شرایط پایدار.....	۵۳
شکل (۲۸-۴) کسر مولی خروجی مرکاپتان از مرحله جذب در شرایط عملیاتی جدید و هفت چرخه متوالی حاصل از شبیه سازی.....	۵۴

فهرست جداول

۲۳.....	جدول (۱-۳) پارامترهای ثابت ایزو ترم برای جاذب های مرتبط
۲۴.....	جدول (۲-۳) مشخصات گاز طبیعی ورودی
۲۶.....	جدول (۳-۳) مشخصات جاذب ها و ستون های جذب
۲۶.....	جدول (۴-۳) شرایط عملیاتی فرآیند PTSA
۳۳.....	جدول (۱-۴) خطای نسبی مطلق بین نتایج شبیه سازی شده و یافته های تجاری

فصل ۱:

مقدمه

۱-۱ - مقدمه

شبیه سازی فرآیند جذب نوسانی فشار-دما (PTSA) در طی شش مرحله‌ی متوالی از عملیات چرخه‌ای برای حذف مرکاپتان‌ها از گاز طبیعی در یک سیستم جذب شش بسترهای دو لایه تجاری انجام شد. خوراک آن مخلوطی از متان با بخار آب، دی‌اکسید کربن، هیدروکربن‌های سنگین (C₃₊) و ناخالصی‌های مرکاپتان است. این فرآیند به منظور کاهش مداوم محتوای مرکاپتان از ۱۳۴ ppmv به کمتر از ۱۰ ppmv که به عنوان سطح استاندارد در مقررات زیست محیطی تعیین می‌شود، در حالت عملیاتی چرخه‌ای کار می‌کند. این بستر از دو لایه آلومینیمی فعال تشکیل شده است که به طور خاص، به ترتیب بخار آب و زئولیت X۱۳ را به منظور حذف مرکاپتان از گاز طبیعی پاک می‌کند.

مراحل چرخه همچون جذب در فشار بالا، کاهش میزان فشار، گرم شدن در دو مرحله با تخلیص گاز طبیعی خالص گرم، خنک سازی ستون و افزایش میزان فشار با تأمین خوراک به صورت متوالی شبیه سازی شد. معادلات مدل پویا از تعادل‌های چهار مول، ساخته شده است؛ مولکول مدل مرکاپتان‌ها، مولکول مدل هیدروکربن‌های سنگین، دی‌اکسید کربن و بخار آب موجود در گاز طبیعی، تعادل جرم کل، معادله افت فشار و دو تعادل انرژی متشکل از فازهای جامد و گاز در ستون آدیاباتیک.

این نکته مشاهده شد که روند جذب چرخه‌ای پس از هفت چرخه اجرای برنامه، به شرایط ثابت نزدیک می‌شود. کسرهای مولی پیش‌بینی شده از این فرآیند با نتایج واقعی مقایسه شد و سازگاری خوبی بین داده‌های واقعی و نتایج شبیه سازی شده، مشاهده گردید. پارامترهای تأثیرگذار فرآیند از طریق تحلیل پارامتری کارایی فرآیند، بررسی شد.

فشار موجود در مرحله جذب، نسبت روند تصفیه به خوراک در مرحله بازسازی و دمای مراحل گرمایشی ۱ و ۲ به عنوان مهم ترین پارامترهای مؤثر بر بازده تصفیه گاز طبیعی بودند. به منظور صرفه جویی در مصرف انرژی، پیشنهادهایی برای ارتقاء شرایط طراحی بدون تأثیر قابل توجه بر عملکرد تصفیه، ارائه شد.

نتایج نشان داد که کاهش فشار جذبی از ۶.۸ به ۰.۶ مگاپاسکال، تغییر نسبت تصفیه به خوراک از ۰.۰۶ به ۰.۰۴۸ و ترکیب دو مرحله گرمایشی به یک مرحله با توجه به عملکرد آن در دمای ۵۱۰ کلوین در مدت ۱۲ ساعت می‌تواند در شرایط عملیاتی و بدون ایجاد تغییرات قابل توجه در پالایش محصول، جایگزین شود. سوختهای فسیلی امروزه بخش اعظمی از انرژی مصرفی در جهان را شامل می‌شوند. یکی از انواع این سوخت‌ها، میغانات گاز طبیعی می‌باشد که از ترکیبات مختلف هیدروکربنی تشکیل شده‌است و به عنوان

یکی از اصلی ترین منابع سوختی به کار می‌رود. اما این میانات حاوی ترکیبات گوگردی مانند سولفید هیدروژن، تیولها (مرکاپتان) و ترکیبات آروماتیکی نیز می‌باشد که جزء آلاینده‌های زیست محیطی به شمار می‌رond. از این رو، این منابع هیدروکربنی ترش برای کاهش محتویات گوگردی نیاز به تصفیه دارند. وجود ترکیبات گوگردی در سوخت‌های مورد استفاده بشر، یک خطر جدی برای موجودات زنده مختلف و همچنین محیط زیست به شمارمی رود. به همین منظور سازمان استاندارد جهانی، در حال افزایش محدودیت‌های مربوط به میزان ترکیبات گوگردی موجود در سوخت‌های مختلف می‌باشد و طبق قوانین زیست محیطی تمام کشورها ملزم به استفاده از سوخت‌هایی با مقادیر پایین گوگرد هستند.

در سالهای اخیر قوانین سختگیرانه‌ای برای کاهش مقدار گوگرد در سوختها به لحاظ جنبه‌های زیست محیطی به تصویب رسیده است. جذب انتخابی ترکیبات گوگرددار یکی از روش‌های پرکاربرد است. مهم‌ترین مزایای این روش انجام‌پذیر بودن واکنش گوگرددزدایی در دما و فشار محیط است که باعث کاهش هزینه‌های عملیات پالایش می‌شود.

ترکیبات گوگردی موجود در نفت خام شامل گوگرد عنصری، سولفید، دی‌سولفید، مرکاپتان، تیوفن، بنزوتیوفن و دی‌بنزوتیوفن است. حذف گوگرد موجود در نفت خام یک مسئله مهم در صنایع نفت و صنایع وابسته به آن است که در طول سال‌های اخیر، توجه زیادی به مسئله زیست محیطی ناشی از ترکیبات گوگرد در سوخت حمل و نقل که منبع اصلی آن ترکیبات SO_x در هوا است شده است. کشورهای متعدد در سراسر جهان مقررات جدیدی اتخاذ کرده‌اند و غلظت گوگرد را به 10 ppm و حتی کمتر از آن محدود کرده‌اند. از سوی دیگر، سوخت‌های هیدروکربنی منبع هیدروژن ایده آل سلول‌های سوختی هستند. با این حال، حتی اثری از ترکیبات سولفور در سوخت می‌تواند باعث مسمومیت کاتالیزورها و الکترودها در سلول‌های سوختی شود، که لازم است سطح گوگرد در سوخت‌های هیدروکربنی به کمتر از 1 ppm کاهش یابد.

با حل شدن گازهای اسیدی در فاز مایع که در کف لوله‌های خطوط انتقال و تجهیزات ضمن افت فشار جریان تشکیل می‌گردد. محیط فاز مایع اسیدی شده کاهش (PH) و دیواره فلزی خطوط و تجهیزات که اغلب از آلیاژهای آهن می‌باشند، تحت تاثیر فرآیند خوردگی اسیدی قرار می‌گیرد و سبب خرابی و توقف در جریان می‌شود و تداوم خوردگی به معنی از دستدادن سرمایه در صنعت محسوب می‌شود.

نشت گاز ترش و استنشاق آن توسط جانداران خصوصاً انسان سبب حمله گاز اسیدی H_2S به مخاط بینی شده و در زمان بسیار کوتاهی کارایی یاخته‌های مخاط بینی را کاهش می‌دهد و در نتیجه حس بویایی را از کار می‌اندازد و در غلظت زیاد سبب مرگ می‌شود. در اغلب جریانات گاز طبیعی ترکیبات گوگردی دیگری بنام مرکاپتان (R-S-S-R) وجود دارند که با نشت گاز در محیط بوی نامطبوعی پراکنده می‌شود.

بخش بزرگی از گاز طبیعی شیرین شده خوراک صنعت پتروشیمی می‌گردد. غلظت بیش از حد استاندارد گازهای اسیدی فرآیند های پتروشیمیایی را با اختلال مواجه می‌کند. فشار گاز در مخازن زیرزمینی بر حسب نوع مخازن متفاوت است. گاهی این فشار تا چندین صد اتمسفر می‌رسد. گاز بصورت طبیعی به جهات مختلف (حرارت - فشار - مایعات مختلف) قابل استفاده صنعتی و مصارف خانگی نمی‌باشد. برای اینکه گاز طبیعی بصورت تجاری قابل استفاده گردد، انجام یک سری عملیات شیمیایی فیزیکی از قبیل جداسازی مایعات گازی و آب و ناخالصی‌ها و پایین آوردن فشار ضروری است.

در سر چاه یک ماده باز دارنده خوردگی تزریق می‌شود تا با تشکیل یک لایه فیلم مانند روی جداره لوله مانع از اثر ناخالصی‌های گاز روی لوله‌های داخل چاه و خطوط انتقال شود.

گوگردزدایی به روش هیدرودی سولفوریزه شدن (HDS) متداول‌ترین فرآیند گوگردزدایی در پالایش نفت است که سابقه طولانی دارد و به عنوان بخش ثابتی از مجموعه فرآیندهای پالایشگاهی کاملاً جا افتاده است. فرآیند HDS متداول برای برش هیدروکربنی در محدوده دما 300°C تا 380°C و فشار زیاد ۵۰۰ psi تا ۷۰۰ psi در یک بستر کاتالیستی در حضور هیدروژن انجام می‌شود. متداول‌ترین کاتالیست مورد استفاده برای این فرآیند، کاتالیست کبات - مولیبدن بر روی پایه آلومینا می‌باشد. سایت‌های فعال موجود در این کاتالیست‌ها با اتم گوگرد موجود در ترکیب گوگردی به نحوی تعامل می‌کنند که امکان واکنش گوگرد با هیدروژن و تشکیل سولفید هیدروژن فراهم می‌شود و در فرآیندی تبدیل به گوگرد عنصری می‌شود.

فشار گاز در مخازن زیرزمینی بر حسب نوع مخازن متفاوت است. گاهی این فشار تا چندین صد اتمسفر می‌رسد. گاز بصورت طبیعی به جهات مختلف (حرارت - فشار - مایعات مختلف) قابل استفاده گردد انجام یک صنعتی و مصارف خانگی نمی‌باشد. برای اینکه گاز طبیعی بصورت تجاری قابل استفاده گردد انجام یک سری عملیات شیمیایی فیزیکی از قبیل جداسازی مایعات گازی و آب و ناخالصی‌ها و پایین آوردن فشار ضروری است.

در سر چاه یک ماده باز دارنده خوردگی تزریق می‌شود تا با تشکیل یک لایه فیلم مانند روی جداره لوله مانع از اثر ناخالصی‌های گاز روی لوله‌های داخل چاه و خطوط انتقال شود. همچنین برای جلوگیری از یخ‌زدن برای هر چاه یک مخزن افقی تحت فشار بنام جدا کننده سرچاه (wellhead gas separator) نصب شده و مرحله اول جداسازی گاز از مایعات در این مخازن انجام می‌گردد و سپس گاز این مخازن توسط خط لوله ۴۸in به پالایشگاه وارد می‌شود.

اغلب گازهای طبیعی که از میدان‌های مختلف استخراج می‌شوند، حاوی گازهای اسیدی هستند. CO_2 با بخار آب همراه گاز تحت شرایطی تولید اسید می‌کنند. در مرحله انتقال گاز از چاه‌ها مقداری مواد شیمیایی به گاز تزریق می‌شود. از دیگر ناخالصی‌های این حوزه‌ها ی گازی مرکاپتانها (RSH) می‌باشند،

که می بایست جدا سازی شوند. H_2S گازی بسیار سمی است و باعث ایجاد خوردگی در فولاد می شود. کربن دی اکسید نیز باعث ایجاد خوردگی در تجهیزات شده و همچنین باعث پایین آمدن Btu گاز خواهد شد. در فرآیند شیرین سازی گاز ترش این ناخالصی ها از گاز حذف شده و گاز برای حمل و نقل و استفاده مهیا می گردد.

۲-۱- شیوه های شیرین سازی گاز

شیوه هایی که برای شیرین سازی گاز استفاده می شوند را می توان به سه شیوه زیر دسته بندی کرد:

- شیمیایی

- حلal فیزیکی

- مخلوط شیمیایی / فیزیکی

در صنعت گاز طبیعی استفاده از حلal های شیمیایی مانند آمین ها به سایر موارد ترجیح داده شده است. اما در گازهای سنتری از همه شیوه ها بهره می برند. حلal های فیزیکی معمولی که در این صنعت مورد استفاده قرار می گیرند عبارتند از متانول، دی متیل اتر و پروپیلن گلیکول. در حالت مخلوط نیز معمولاً مخلوطی از ترکیبات آمینی و حلal فیزیکی به کار برده می شود. به طور کل هر روشی که بتواند میزان گوگرد و مشتقات آن را بیشتر کاهش دهد، به سایر روش ها ترجیح داده می شود.

یکی از شیوه های قدیمی و محبوب که برای شیرین سازی مورد استفاده قرار می گیرد، استفاده از واحدهای آمینی است. در این واحدها از حلal های آمینی استفاده می شود.

واحدهای شیرین سازی آمین نزدیک به ۸۰ سال است که برای حذف H_2S و CO_2 از جریان های گاز ترش مورد استفاده قرار می گیرد. در اوایل از خرید تری اتانول آمین استفاده می شد ولی در ادامه مونو و دی اتانول آمین بیشتر مورد توجه قرار گرفتند. در طی ۲۰ سال اخیر متیل دی اتانول آمین (MDEA) به حلالی محبوب تبدیل شده است، خصوصاً به خاطر انتخاب پذیری بالایی که در واکنش با H_2S در مقایسه با کربن دی اکسید دارد.

معمولأ گاز طبیعی و یا گاز همراه نفت، حاوی برخی ناخالصی ها مانند بخار آب، دی اکسید کربن، سولفید هیدروژن و هیدروکربنهای سنگین مانند مرکاپتان ها است. از ترکیب سولفید هیدروژن و دی اکسید کربن با آب، ترکیباتی نظیر اسیدسولفوریک و اسیدکربونیک تولید می گردد. از این رو این ترکیبات به گازهای اسیدی معروفند و گاز حاوی این مواد را گاز ترش می نامند.

تصفیه گاز طبیعی و جداسازی ناخالصی‌ها درون گازها و مایعات از نقطه نظر ایمنی، کنترل خوردگی، تنظیم ترکیب استاندارد محصولات گاز و مایع، پرهیز از تشکیل هیدرات در دماهای پایین، کاهش هزینه‌های تقویت فشار گاز، جلوگیری از مسمومیت کاتالیزورهای کارخانجات دریافت کننده محصولات گاز یا مایع و درنهایت رعایت حد مجاز انتشار مواد آآلینده محیط زیست، الزامی است.

جداسازی سولفید هیدروژن و دی اکسید کربن به منظور کاهش خطرات ناشی از مسمومیت، مسائل زیست محیطی و بال بردن ارزش حرارتی گاز صادراتی صورت می‌گیرد که شیرین‌سازی گاز نامیده می‌شود. امروزه جداسازی دی اکسید کربن، سولفید هیدروژن و همچنین سایر ترکیبات گوگردی از جریان گاز طبیعی، یک امر بسیار مهم است که به منظور کاهش خوردگی و همچنین مسایل زیست محیطی از قبیل بهداشت و ایمنی مورد توجه قرار گرفته است. اولین فرآیندهایی که برای جداسازی این مواد از جریان گاز طبیعی در نظر گرفته شدند، فرآیندهایی تحت عنوان فرآیندهای شیرین‌سازی گاز بودند.

این فرآیندها با گذشت زمان بهدلیل حجم بالا، فشار زیاد و غلظت‌های بالای سولفید هیدروژن در گاز طبیعی و همچنین فراوری گازهای کوره، کک و سایر گازهای تولیدی توسعه یافته‌اند تا اینکه امروزه، فرآیندهای شیرین‌سازی گاز توسط حلal آمین به منظور انجام جداسازی در فشار بالا و حجم زیاد گاز با غلظت‌های بالای ترکیبات گوگردی مورد استقبال قرار گرفته‌اند، به گونه‌ای که به‌طور گسترده در صنایع گاز مورد استفاده قرار می‌گیرند.

۱-۳-۱- آمین‌ها

آمین‌های مورد استفاده در این فرآیندها، بازهای آلی ضعیفی هستند که براساس تعداد گروههای آلی متصل به اتم نیتروژن در مولکول هایشان، به سه دسته تقسیم می‌شوند که عبارتند از:

۱- آمین‌های نوع اول: در ساختار مولکولی این نوع آمین، یک گروه آلی به اتم نیتروژن متصل است، مانند DGA و MEA

۲- آمین‌های نوع دوم: در این نوع آمین دو گروه آلی به اتم نیتروژن متصل می‌شود، مانند DEA و DIPA

۳- آمین‌های نوع سوم: در این نوع آمین سه گروه آلی به اتم نیتروژن متصل است، مانند TEA و MDEA آلکانول آمین‌ها، مواد آلی نیتروژن دارهستند که از ترکیب مواد آلی مخصوص با آمونیاک به‌دست می‌آیند. در واکنش اصلی، یکی از هیدروژنهای آمونیاک با رادیکال ماده شیمیایی آلی تعویض می‌گردد.

کلمه آمین در حقیقت به طور عام به چنین ترکیباتی اطلاق می‌شود. در صنعت شیمی، تعداد زیادی از انواع

آمین ها مورد استفاده واقع می شوند. آلكanol آمین ها به طور عام برای تصفیه گازها و مایعات نفتی ترش به کار گرفته می شوند. همانطوری که از نام این مواد معلوم می شود می توان آنها را ترکیبی از الکل و آمونیاک به حساب آورد.

واکنش پذیری و میزان قلیائیت انواع آمین ها با گازهای اسیدی مانند سولفید هیدروژن و دی اکسید کربن متفاوت است و به صورت ذیل تغییر می کند:

آمین نوع سوم > آمین نوع دوم > آمین نوع اول

میزان حلایت آب در آمین با افزایش تعداد گروههای هیدروکسیل (OH-) در آمین افزایش می یابد، ولی میزان حلایت هیدروکربن ها کاهش می یابد. اما با افزایش تعداد گروههای آلیفاتیک (-CHm) موجود در آمین، میزان حلایت هیدروکربنها افزایش می یابد، ولی میزان حلایت آب کاهش می یابد.

در مجموع حلال متیل دی اتانول آمین نسبت به آمین های بررسی شده در بالا، واکنش کندتری با دی اکسید کربن دارد که منجر به تشکیل نمکی متفاوت نسبت به دیگر آمین ها می شود. این تفاوت در سرعت واکنش MDEA با سولفید هیدروژن و دی اکسید کربن سبب خاصیت گزینش پذیری سولفید هیدروژن به جای دی اکسید کربن می شود. این خاصیت زمانی که نیاز به حذف کامل دی اکسید کربن از جریان گازی نمی باشد، به کار می آید. اگر قرار باشد مقداری از دی اکسید کربن گاز طبیعی در گاز باقی بماند، می توان دبی گردشی محلول را کاهش داد. با استفاده از MDEA به جای حلای مثل DEA ظرفیت فراوری واحد شیرین سازی افزایش می یابد. در صورت بالا بودن نسبت سولفید هیدروژن به دی اکسید کربن از حلال MDEA جهت ارتقاء کیفیت و افزایش راندمان خوارک فرایند کلاوس استفاده می شود.

به همین دلیل، برخی از واحدهای گازی قدیمی از MDEA استفاده می کنند. غلظت های MDEA در حدود ۰ تا ۵۰ درصد جرمی با بارگذاری مولی ۰/۴ ۰/۵۵ تا ۰/۵۵ مول های گاز اسیدی بر مول آمین است. MDEA به عنوان یک آمین نوع سوم است که به طور طبیعی باز ضعیف تری می باشد و نسبت به آمین های نوع اول و دوم خورندگی کم تری دارد. انرژی مورد نیاز جهت احیای آن نیز کم تر از دیگر آمین ها بوده و به طور کلی بخار مورد نیاز جهت احیای آن در حدود ۱۲۰ می باشد.

برای فرآیند شیرین سازی گاز توسط حلal ها، تاکنون شبیه سازی های مختلفی صورت گرفته است که در برخی از موارد از حلal آمینی و برخی دیگر از حلal های غیر آمینی استفاده گردیده است و در آنها، به مقایسه حلال ها با یکدیگر، مزیت آنها نسبت یکدیگر، مقایسه صرفه اقتصادی آنها از نظر مصرف حلال با توجه به قیمت خرید و قدرت حلال در جداسازی سولفید هیدروژن و دی اکسید کربن، مورد بررسی قرار گرفته است.

در واحد شیرین سازی، گاز ترش ورودی با ۰.۵۵ و ۰.۶۰ درصد مولی سولفید هیدروژن و دی اکسید کربن،

توسط محلول متیل دی اتانول آمین رقیق شده با آب تا ۴۵ درصد وزنی (۴۵٪ آمین و ۵۵٪ آب)، شیرین می‌گردد. این غلظت باید در طول فرایند شیرین سازی و گردش آمین در سیستم، حفظ شود. از طرفی گرمابودن واکنش در برج جذب باعث بالا رفتن دمای گاز شیرین شده و همچنین وجود برج دفع با دمای بالا باعث افزایش دمای گاز اسیدی خارج شده از آن گردیده و این دو عامل از دلایل مهم هدر رفت آب همراه با جریان‌های خروجی و افزایش بیش از حد غلظت آمین می‌باشند. به همین دلیل جهت حفظ و تنظیم غلظت مورد نظر آمین، آب جبرانی به سیستم تزریق می‌گردد. در مواردی نیز که غلظت آمین گردشی در سیستم دچار افت می‌گردد، می‌توان دبی جریان آب جبرانی تزریقی به سیستم را تا زمان رسیدن آمین به غلظت مطلوب کاهش داد و یا قطع کرد.

فرآیند شیرین سازی جریان گاز توسط محلول آمین، به دلیل لزوم استفاده مجدد از حلال غنی‌شده و تبدیل آن به حلال سبک نیازمند صرف انرژی برای گرمایش و جداسازی گازهای اسیدی و سرمایش به منظور استفاده دوباره در برج جذب است. سهم عمده هزینه‌های عملیاتی در این واحدها مربوط به صرف انرژی‌های یاد شده است، پس بهینه‌سازی فرآیند برای کاهش هزینه‌ها امری اجتناب‌ناپذیر است. در فرآیند بهینه‌سازی شرایط عملیاتی نیز باید مدنظر قرار گیرد. انتخاب دمای بهینه آمین غنی ورود به برج احیا توانایی کاهش هزینه عملیاتی تا بیش از ۹۷۷۰۴ دلار در سال را دارد و بیشترین میزان بازیابی سولفید هیدروژن در این دما انجام می‌گیرد.

فرآیند شیرین سازی گاز آمین به طور گسترده‌ای برای حذف گازهای اسیدی H_2S و CO_2 از گاز طبیعی استفاده می‌شود.

با این حال، این فرایند به دلیل نیازهای زیاد گرمایشی و سرمایشی، انرژی زیادی را صرف می‌کند. علاوه بر این، کاهش نیازهای انرژی آن با بهینه سازی پارامترهای عملیاتی آن محدود است. بنابراین، اصلاحات فرآیند می‌تواند باعث کاهش قابل توجهی در مصرف انرژی و در نتیجه کاهش هزینه‌های عملیاتی شود. این تحقیق با توجه به پارامترهای اصلی (نرخ جریان گردش آمین، دما و غلظت) عملکرد فعلی کارخانه موجود (کارخانه لخوار، عمان) را بررسی می‌کند و اصلاحاتی را برای افزایش سودآوری و پایداری آن در کارخانه موجود پیشنهاد می‌کند.

شبیه سازی و تجزیه و تحلیل حساسیت با استفاده از Aspen HYSYS v10 انجام می‌شود. ظرفیت‌های عملیاتی برخی تجهیزات برای ارزیابی امکان تغییر پارامترهای عملیاتی همراه با بررسی وقوع مشکلات عملیاتی معمول مانند کف کردن، بررسی می‌شود.

دو اصلاح (تقسیم حلقه معمولی و تقسیم حلقه اصلاح شده) شبیه سازی شده و مورد بحث قرار گرفته است. مقایسه‌ای بین آنها و روند فعلی از نظر سودآوری و پایداری انجام شده است. مشخص شده است که حلقه

تقسیم معمولی تا حدود ۰٪/۵۰ از هزینه های عملیاتی فعلی صرفاً با افزایش حدود ۱۷۵،۰۰۰ پوندی سرمایه گذاری و جریمه ۱ ppm H₂S در گاز شیرین ، که هنوز کاملاً زیر خط لوله است، صرفه جویی می کند.

مشخصات گاز سرانجام، یک فرآیند بازیابی گوگرد برای ایجاد پایدارتر و سازگارتر با محیط زیست همراه با پیشنهاد دو اصلاح در فرآیند مرسوم بازیابی گوگرد، پیشنهاد شده است. حتی اگر فرایندهای بازیابی گوگرد اصلاح شده معمولی و پیشنهادی از نظر اقتصادی سودآور نباشند، روند بازیابی گوگرد اصلاح شده پایدارتر است، زیرا اثر کربن آن کمتر از فرآیند مرسوم است.

فصل ۲:

مروری بر منابع

۱-۲- مروری بر منابع

گاز طبیعی به عنوان مخلوطی از گاز هیدروکربن متشکل از متان محسوب شده که شامل ناخالصی هایی از بخار آب، دی اکسید کربن، ترکیبات سولفوریک مانند سولفید هیدروژن و مرکاپتان های سبک (عمدتاً اتیل و متیل مرکاپتان) است. گاز طبیعی منبع اصلی انرژی است که به عنوان سوخت صنعتی و خانگی بسیار مورد استفاده قرار می گیرد. برای اینکه گاز طبیعی برای استفاده مناسب باشد و از نظر محیط زیست نیز بی خطر باشد، تصفیه آن از تمام آلاینده هایی که می توانند بر استفاده و ظرفیت بهینه انرژی آن تأثیر بگذارند، بسیار مهم است. این آلاینده ها همچنین می توانند مشکلاتی مانند خوردگی، یخ زدگی، وصل شدن، فرسایش، سلامتی و خطرات زیست محیطی ایجاد کنند.

ناخالصی های آب و گوگرد باعث ایجاد مشکلات زیادی همچون خوردگی، تراکم، آلودگی هوا و کاهش محتوای انرژی گاز طبیعی می شوند. در آینده نزدیک، قانون زیست محیطی موجب کاهش روند انتشار گوگرد در جو (کمتر از ppmv ۲۰ مولار) خواهد شد [۱].

در کارخانه های صنعتی معمولی، گاز طبیعی با شستشوی قلیاً و سپس، شستشوی آمین به منظور تفکیک سایر ترکیبات گوگردی از سولفید هیدروژن جدا می شود و سرانجام در واحد آبگیری گلیکول، خشک می شود. با این وجود، این واکنش های تیماری به منظور جداسازی کامل ترکیبات گوگردی کافی به نظر نمیرسند و وجود برخی از مرکاپتان های سبک موجب نقض مقررات زیست محیطی می شود [۳].

در نتیجه الحق فرآیند تصفیه پایین دستی جدید به منظور کاهش گوگرد تا سطح نیازهای زیست محیطی امری ضروری است. در این شرایط، فرآیند جذب به عنوان یک شیوه ساده، گزینش پذیری بالا و مدرن که در حال توسعه به منظور تصفیه گاز طبیعی می باشد، یک فرایند جایگزین برای حذف گوگرد است. تعداد زیادی از فرایندهای مدل سازی و شبیه سازی جذب چرخه ای گاز در مقالات مختلف مشاهده می شود. کیم و همکاران [۱۴] یک مطالعه پارامتریک را در یک بخش تصفیه کننده جذب نوسانی شش مرحله ای فشار (PSA) با استفاده از غربال مولکولی کربن به منظور تولید اکسیژن با خلوص بالا بررسی کردند.

Knaebel و همکاران [۵] روند جذب نوسانی فشار را به منظور بازیابی هیدروژن از متان، شبیه سازی و بهینه سازی کردند.

Silwala و همکاران [۶] و نیز مندس و همکاران [۷]، تأثیر پارامترهای عملیاتی را بر روند جداسازی مخلوط های مختلف پس از اجرای فرآیند جذب نوسانی فشار، مطالعه و ارزیابی کردند.

مطالعات تجربی متعددی در زمینه جذب گازهای مختلف انجام می شود اما مطالعات بنیادین در مورد جذب مرکاپتان ها در مواد نانو متخلخل به ندرت مشاهده می شود.

وبه و همکاران [۲] و نیز بلات و همکاران. [۳]، تعادل جذبی مخلوط اتیل مرکاپتان/ هیدروکربن دوظرفیته را بر روی یک زئولیت X13 اندازه گیری کردند.

باشکووا و همکاران [۸] همچنین تعادل جذب متیل مرکاپتان را بر روی جاذب کربن فعال نشان دادند. علاوه بر این، گزارش های محدودی در رابطه با فرآیندهای چرخشی جذب برای جذب مرکاپتان از گاز طبیعی وجود دارد.

شیرانی و همکاران [۹] روند جذب بخار آب و مرکاپتان را بر روی زئولیت X13 در فرآیند تصفیه گاز طبیعی مطالعه کردند.

لی ژو و همکاران [۱۰] با استفاده از یک جاذب نوسانی فشار، حذف HS را از گاز طبیعی به منظور ارزیابی احتمال تصفیه، مطالعه کردند. در رابطه با گوگردزادایی عمیق گاز طبیعی، دو فناوری اصلی (جذب نوسانی دما (TSA) و جذب نوسانی فشار) (PSA) باید با یکدیگر ترکیب شوند. برای مرحله جذب و افزایش دما به منظور بازسازی مؤثر جاذب ها در مرحله جذب، وجود فشار ضرورت دارد. اگرچه روند PTSA برای تصفیه گاز طبیعی از ترکیبات گوگرددار در حین بررسی مقالات مشاهده نشد، اما برخی از مطالعات در رابطه با جداسازی و تصفیه توسط این فرآیند یافت می شود.

Wan-Seon و همکاران [۱۱]، فرآیند چرخه ای PTSA را برای حذف گاز گلخانه ای SF6 از مخلوط N₂ و SF₆ ۱.۳٪ توسط کربن فعال، پیشنهاد کردند. حداکثر خلوص ۱۹.۵ درصد و میزان بازیابی ۵۰.۱ درصد با فشار جذبی ۲.۵ اتمسفر، دمای رهاسازی ۲۰۰ درجه سانتیگراد و مدت تخلیه در طی ۱ ساعت حاصل شد. مولگوندمات و همکاران [۱۲]، فرآیند جذب چرخه ای PTSA را برای بدام انداختن دی اکسید کربن آزاد شده از گاز طبیعی پس از احتراق، بهینه سازی کردند. در این مطالعه، فرآیند جذب نوسانی فشار (PSA) با فرآیند جذب نوسانی حرارتی فشار (TPSA) به منظور بازیابی CO₂ از ترکیب گاز CO₂ 10% خارج شده از دودکش (برحسب حجم) در جاذب N₂ با استفاده از Ceca 13X مقایسه شد. در یک مطالعه دیگر، پاگسلی و همکاران [۱۳] فرآیند جدیدی از جداسازی CO₂ را همزمان با گردش جاذب نوسانی سیال فشار- دما در بستر به منظور بازیابی CO₂ از گاز دودکش، شبیه سازی کردند. شبیه سازی در شرایط مختلف فعالیت رایزر انجام می شود تا این طریق، تأثیر آن بر خلوص و بازیابی، مشاهده شود. این مزایای اصلی به ترکیب PSA و TSA به منظور افزایش میزان بهره وری فرآیند توسعه و ضمانت در تشدید فرآیند جذب-دفع در چرخه های مختلف، وابسته است. در فرآیند PTSA می توان هزینه عملیاتی را کاهش داد که این امر به دلیل کاهش دمای بازسازی نسبت به TSA معمولی و نیز استفاده از فشار طبیعی بازسازی نسبت به شرایط خلا

موردنیاز در فرآیند VSA است [۱۴].

در این مطالعه، یک واحد تجاری PTSA مستقر در مجتمع پارس جنوبی در خاورمیانه برای گوگردزدایی گاز طبیعی، شبیه سازی می شود. هدف از این کار، شبیه سازی و مطالعه رفتار و عملکرد پویایی یک فرآیند تجاری PTSA به منظور تصفیه گاز طبیعی مربوط از مرکاپتان ها می باشد. به منظور پیش بینی پویایی فرآیند، یک مدل دینامیکی غیر هم دما شامل تغییرات جرم، انرژی و فشار استفاده شده است. گاز طبیعی با کسری هیدروکربن های سنگین تر، دی اکسیدکربن، بخار آب و ناخالصی های مرکاپتان به عنوان خوراک فرآیند چرخه ای PTSA با شش لایه و فرآیند جذب دو لایه محسوب می شود. آلومینیمی فعال به دلیل قطبیت بالا به عنوان اولین لایه برای جذب H₂O [۱۵] و زئولیت X1۳ به عنوان یکی از جاذب های انتخابی برای مرکاپتان ها تحت عنوان لایه دوم در این فرآیند مورد توجه قرار گرفته است [۳].

در روش ابداعی مربوط به British Petroleum، اجزاء سنگین نفت خام ابتدا به وسیله ای اکسیداسیون با عوامل مختلف اکسیداسیون و سپس قرار دادن آن در معرض تجزیه ای حرارتی با حرارت دهی سریع برای حذف گوگرد به طور عمدی به صورت دی اکسید گوگرد، گوگردزدایی می شوند.

گوگرد زدایی زیستی (BDS) عبارت است از حذف ترکیبات گوگردی موجود در نفت با به کارگیری واکنش های کاتالیستی آنزیمی در دما و فشار محدود. در این فرآیند از بیوراکتورهای هواگرد به دلیل ساده بودن، حسن هوادهی آسان و تنش برشی کمتر نسبت به راکتورهای همزندار استفاده می شود. جهت کاهش محدودیت هایی از قبیل نسبت حجمی پایین آب به نفت، محدود بودن بازگشت بیوکاتالیست به راکتور و همچنین قیمت بالای بیوکاتالیست تحقیقاتی در زمینه ای سیستم ثبیت در فرآیند گوگردزدایی زیستی (BDS) گردیده است.

یکی از دلایلی که فرآیند گوگردزدایی مستقیم از نفت خام هنوز تجاری نشده است، مشکلات فنی، فقدان محرك اقتصادی و قوانین نه چندانم حکم در جلوگیری از سوزاندن نفت باقیمانده با گوگرد زیاد می باشد. مشکلات فنی، وجود مقدار زیاد آسفالتی نوفلزاتی از قبیل نیکل و وانادیوم در نفت خام باعث ککسازی سریع و غیرفعال شدن کاتالیست می شود.

وقتی برای به کارگیری فرآیند گوگردزدایی هیدروژنی تلاش می شود و نفت خام حاوی گوگرد زیادی به کارگیری شود، معمولاً لازم است در شرایطی که تنها نصف گوگرد موجود در نفت خام حذف می شود، عملیات اجرا شود و دلیل این امر آن است که اگر هرگونه شرایط گوگردزدایی هیدروژنی شدید به کار گرفته شود مقدار زیاد اجزاء موجود در نفت خام باعث تشکیل سریع کک به طور گسترده بر روی کاتالیست می شود و از این طریق باعث غیر فعال شدن کاتالیست در یک پریود زمانی کوتاه می شود.

استفاده از شرایط بسیار شدید در گوگردزدایی هیدروژنی قبل غیر ممکن فرض می شد، زیرا عمر کاتالیست

بسیار کوتاه بود و به کارگیری شرایط آرام در گوگردزدایی هیدروژنی نیز حذف مقدار کافی از گوگرد برای فراهم کردن محصولات دلخواه با گوگرد پایین را فراهم نمی کرد [۲۴].

گوگردزدایی فنی بسیار مشکل است و دلیل اصلی آن حضور ترکیبات آسفالتی و مواد آلوده کننده فلزی می باشد که باعث غیرفعال شدن کاتالیست می شود. کک غیر قابل حل در نفت، ماده ای است که ممکن است با گوگرد، نیتروژن، اکسیژن و فلزات مختلف ترکیب شود. معمولاً مواد آسفالت یک به صورت کلوئیدی در داخل نفت خام پراکنده شده اند و وقتی گرم می شوند، تمایل به لخته شدن و پلیمریزاسیون دارند.

بنابراین در باقیمانده های اتمسفری و خلاء، آسفالت نهای پلیمره شده به صورت مواد شبه جامد حتی در دمای محیط وجود دارند. آلوده کننده های فلزی شامل نیکل و وانادیوم بسیار معمول هستند. هرچند دیگر فلزات از قبیل آهن، مس، سرب و روی نیز اغلب موجود هستند. این آلوده کننده های فلزی ممکن است به شکل هایی از قبیل اکسید فلزی یا سولفید، به صورت ذرات و یا نمکهای محلول در نفت موجود نباشند. معمولاً این فلزات به صورت ترکیبات آلی فلزی با جرم مولکولی نسبتاً زیاد از قبیل Metallic probhyrin و مشتقهای آن وجود دارند. وقتی هیدروکربن حاوی ترکیبات آلی فلزی هیدروژن دهی می شود، فلزات بر روی کاتالیست رسوب می کنند و پایش فرآیند غلظت آنها افزایش می یابد.

اخیراً، بیشتر نشریات مربوط به قبل یا بعد از تصفیه گاز طبیعی متمرکز بر جذب CO_2 یا با استفاده از حلal های فیزیکی یا شیمیایی است [۲۹] با این حال، نگرانی عمدۀ صنعت همیشه اینمی است و این رو حذف H_2S ، که بسیار سمی است، هنوز هم طراحی تولید و پردازش گاز طبیعی را محدود می کند [۳۰]. بنابراین، بهینه سازی عملکرد فرآیندهای موجود یا بررسی تغییرات احتمالی فرآیند، همیشه باید در نظر گرفتن حفظ غلظت H_2S در گاز طبیعی تصفیه شده تحت غلظت تخلیه مجاز باشد.

کارخانه شیرین سازی گاز آمین لخوار توسط شرکت توسعه پترولیوم عمان (PDO) در میدان لخوار (شمال غربی عمان) ساخته شده و برای تصفیه گاز طبیعی تولید شده در این میدان که غنی از H_2S و CO_2 است، بهره برداری می شود.

روغن و آب از هم جدا می شوند و گاز قبل از اینکه به کارخانه شیرین سازی گاز آمین برود، به یک فرآیند پیش تصفیه می رود. این نیروگاه در سال ۲۰۱۲ به منظور حذف H_2S از گاز طبیعی تولید شده به بهره برداری رسید و برای کاهش غلظت H_2S گاز ترش از ۵۰۰ ppm به حداقل غلظت تخلیه مجاز ۵ ppm با نرخ جريان گاز ورودی ۵ میلیون استاندارد مترمکعب در روز (MMSCMD) طراحی شده است [۳۱].

میزان جريان خوراک فعلی گاز اسیدی کمتر از ۵.۰ ppm است و غلظت H_2S در گاز خوراک ۲۰۰ ppm است. به دلیل کار با دبی پایین تر، غلظت H_2S در گاز شیرین تصفیه شده در حدود ۰.۴ ppm است که قابل قبول است اما کم در نظر گرفته می شود. با این حال، این غلظت بسیار کم H_2S در گاز شیرین

باعث می شود که غلظت SO_2 در شراره گازهای زائد همیشه بالاتر از هدف باشد. همچنین، احتمال افزایش گازهای اسیدی به دلیل حفر چاه های جدید و تغییر مخزن وجود دارد [۳۲].

علاوه بر این، از آنجا که نیروگاه جدید در نظر گرفته می شود، نیاز به بررسی عملیات فعلی نیروگاه و بررسی هرگونه بهینه سازی و اصلاح احتمالی است که می تواند باعث صرفه جویی در انرژی و منجر به کاهش گازهای زائد شulle ور بدون نقض مشخصات گاز شیرین شود.

کاهش هزینه های عملیاتی و افزایش پایداری زیست محیطی فرآیند، دو نگرانی اساسی در هر تأسیسات فرآوری نفت و گاز است. ثابت شده است که کاهش مصرف انرژی با بهینه سازی پارامترهای عملیاتی محدود است. با این حال، تغییرات فرآیند می تواند منجر به کاهش قابل توجهی در انرژی مورد نیاز فرآیند شیرین سازی شود.

روش های مختلفی برای کاهش مصرف انرژی وجود دارد، مانند جایگزینی نوع آمین، تغییر ستون داخلی یا اصلاح صفحه جریان فرآیند.

در یک فرآیند شیرین سازی گاز آمین متداول، آمین بصورت یک جریان واحد از پایین جاذب به قسمت بالای استریپر و از پایین استریپر به بالای جذب کننده جریان می یابد. با این وجود امکاناتی وجود دارد که چندین خوراک یا کشش در جاذب و سلب کننده داشته باشد. به این تنظیمات، تنظیمات split-flow یا split-loop گفته می شود.

مزیت اصلی با پیکربندی شکاف حلقه کاهش مصرف گرما در استریپر است. این کاهش به این دلیل است که فقط بخشی از آمین نیاز به بازسازی کامل دارد. توضیح دیگر این است که نیروی محرکه خصوصاً در جاذب کاهش می یابد [33].

بیشتر نشریات اخیر در مورد پیکربندی حلقه تقسیم شده به بهبود حذف CO_2 از گاز طبیعی علاقه مند هستند. بررسی تغییرات فرآیند شیرین سازی گاز آمین برای حذف CO_2 توسط گزارش شده است [۱۳] علاوه بر این، تعداد کمی از شبیه سازی های حذف CO_2 از گاز طبیعی بر اساس پیکربندی حلقة شکاف منتشر شده است [۳۴].

Vozniuk با استفاده از بسته آمین و مدل کنت - آیزنبرگ، فرآیند شیرین سازی گاز آمین سنتی را با و بدون پیکربندی حلقة تقسیم با استفاده از Aspen HYSYS v7.0 شبیه سازی کرده است. این یکی از اولین گزارش هایی بود که به طور کمی اثر پیکربندی splitloop را بررسی کرد. با این حال، تا اطلاع دانشمندان، تقریباً هیچ نشريه ای در مورد تأثیر این تغییرات در حذف H_2S بررسی نشده است.

تاکنون، بیشتر مطالعات منتشرشده فقط ارزیابی کیفی تغییرات فرآیند پیشنهادی را در نظر گرفته است. بنابراین، این مطالعه به دنبال بررسی کمی کاهش انرژی در کارخانه شیرین سازی گاز آمین موجود با

استفاده از Aspen HYSYS به عنوان یک ابزار بهینه سازی است.

بخشی از تازگی این تحقیق، به استفاده از یک شبیه ساز فرآیند تجاری (Aspen HYSYS v 10) متکی است، جایی که بسته های مختلف مایعات آمین و آمین (DBR) استفاده می شود و در مقایسه با روند واقعی مورد ارزیابی قرار می گیرد، تا مناسب ترین بسته انتخاب شود. این روش از شبیه سازهای فرآیند تجاری (بسته های سیال متناسب با خاصیت، قابلیت اطمینان و مقاومت) و انعطاف پذیری ایجاد و اصلاح نمودارهای جریان فرآیند برای اهداف مدل سازی و شبیه سازی بهره می برد. روش بهینه سازی پیشنهادی با موفقیت در فرآیند شیرین سازی گاز آمین گیاه Lekhair اعمال می شود، جایی که گزینه های مختلفی برای جریان ها، تجهیزات و شرایط فرآیند موجود است. بخش دیگری از این تازگی تحقیق پیشنهاد پیکربندی حلقه تقسیم شده با یکپارچه سازی گرما است که قبل از شبیه سازی نشده است. همچنین، برای اطمینان از روند تولید گوگرد پایدار و قابل اطمینان، اصلاحات مختلفی در فرآیند بازیابی معمول گوگرد در نظر گرفته شده است.

فصل ٣:

روش تحقیق

۱-۳- مدل سازی ریاضی

به منظور درک رفتار پویای ستون های جذب، مدل های ریاضی بر اساس فرضیات توسعه یافته‌ند:

- از شیب غلظت و دما در جهت شعاعی و زاویه ای چشم پوشی می شود.
- رفتار دینامیکی سیال از مدل جریان دو شاخه مرتبط با پراکندگی محوری موجود در بستر، تبعیت می کند.
- سرعت جریان در امتداد بستر، متفاوت است و از معادله تعادل جرم کل محاسبه می شود.
- ویژگی گاز با معادله حالت پنگ - رابینسون توصیف می شود.
- نفوذ و جذب ذرات به عنوان یک مدل انتقال جنبشی توده ای تصور می شود
- سرعت انتقال جرم با مدل نیروی محرک خطی موجود بین غلظت های جامد اشباع و بارگذاری شده نشان داده می شود.
- افت فشار در امتداد بستر به عنوان معادله ارگون در نظر گرفته می شود.
- ستون های جذب تحت شرایط آدیباتیک فعالیت می کنند که این امر در مقیاس واقعی صنعتی، ارائه می شود.
- توزیع دما بواسطه جاذب نادیده گرفته شده و به عنوان یک مدل توده ای مدنظر قرار گرفت.
- ظرفیت های گرمایی جاذب و فاز جاذب، ثابت فرض می شوند.
- گرمایی جذب بر اساس پوشش سطح، متفاوت است. با این وجود، از آنجایی که تنوع گرمایی جذب در محدوده تجربی اندک است، فرض بر این بوده که آن در طول مطالعه ثابت باشد.

۱-۱-۳- معادلات حالت

به دلیل فشار و دمای بالا و تغییرات آنها در طی این فرآیند، گاز از یک رفتار غیر ایده آل پیروی می کند، بنابراین خصوصیات گاز همچون چگالی و گرانروی از طریق معادله حالت پنگ - رابینسون محاسبه می شود.

۱-۲-۳- تعادل جرم

براساس فرضیات قبلی، مؤلفه و تعادل کلی جرم در فاز اصلی ستون جذب به شرح زیر می باشد:

$$\varepsilon \frac{\partial C_i}{\partial t} = - \frac{\partial(uC_i)}{\partial z} + \varepsilon D_{ax,i} \frac{\partial^2 C_i}{\partial z^2} - (1 - \varepsilon) \rho_s \frac{\partial q_i}{\partial t} \quad (1-3)$$

$$\varepsilon \frac{\partial C}{\partial t} = - \frac{\partial(uC)}{\partial z} - (1 - \varepsilon) \rho_s \sum_1^{n_c} \frac{\partial q_i}{\partial t} \quad (2-3)$$

که در این معادله، C_i و q_i به ترتیب، غلظت اجزا در فاز گاز و فاز جذب، z مختصات محور در بستر، ضریب پراکندگی محوری مؤثر، u سرعت گاز سطحی، ρ_s چگالی جاذب، n_c تعداد مؤلفه های جذب شده در مخلوط و ε تخلخل بستر می باشد.

مقدار D_{ax} از طریق معادله زیر محاسبه می شود:

$$\frac{\varepsilon D_{ax,i}}{D_{m,i}} = 20 + 0.5 Sc_i Re \quad (3-3)$$

که در این معادله، $D_{m,i}$ نفوذ مولکولی مؤلفه i در مخلوط بوده که در بخش ضمیمه محاسبه می شود، Re عدد رینولدز و Sc_i عدد اشمتیت است. با توجه به فرضیات موجود، از مدل محرک خطی جامد (LDF) برای توصیف سرعت انتقال جرم در فاز گاز و جامد استفاده می شود:

$$\frac{\partial q_i}{\partial t} = k_i (q_i^* - q_i) \quad (4-3)$$

که در این معادله، k_i ضریب انتقال جرم کلی، q_i^* ، غلظت تعادلی مؤلفه i در مرحله جذب است. ضریب کلی انتقال جرم، k_i ، با توجه به خصوصیات مختلف انتقال جرم، یک پارامتر توده ای محسوب می شود. پارامتر کلی مقاومت، با فرض مقاومت انتقال توده ای سیال در منافذ و فیلم به شرح زیر، محاسبه می شود:

$$\frac{1}{k_i} = \frac{r_p}{3k_{f,i}} + \frac{r_p^2}{15\varepsilon_p K_{p,i}} \quad (5-3)$$

که در این معادله، r_p شعاع جاذب، ε_p تخلخل جاذب و نفوذ منافذ، $K_{p,i}$ به عنوان ضرایب Knudsen و انتشار مولکولی به شرح زیر تعریف می شود:

$$\tau = \varepsilon_p + 1.5(1 - \varepsilon_p) \quad (6-3)$$

که در این معادله، τ عامل انحنا و تابعی از تخلخل جامد به شرح زیر می باشد:

ضریب انتشار Knudsen $D_{K,i}$ به شرح زیر است:

$$D_{k,i} = 97 r_{pore} \left(\frac{T}{M_i} \right)^{0.5} \quad (7-3)$$

که در این معادله، r_{pore} شعاع منافذ، T دمای گاز و M وزن مولکولی است. ضریب مقاومت فیلم یعنی، k_f

بر اساس عدد شروود، بدست می آید:

$$K_{f,i} \frac{s h_i D_{m,i}}{2 r_p} \quad (8-3)$$

که در این معادله، عدد شروود، $s h_i$ بر اساس همبستگی Wakao و Funazkri تخمین زده شد:

$$1 \quad s h_i = 2 + 1.1 S c_i^{1/3} R e^{0.6} \quad (9-3)$$

معادله افت فشار توسط معادله ارگون بر اساس تعریف می شود:

$$\frac{\partial P}{\partial z} = - \left(\frac{37.5(1-\varepsilon)^2 \mu u}{(r_p \varphi)^2 \varepsilon^3} + 0.875 \rho \frac{(1-\varepsilon)u^2}{r_p \varphi \varepsilon^3} \right) \quad (10-3)$$

که در این معادله، P فشار موضعی در مختصات محوری z ؛ M ویسکوزیته گاز، φ عامل شکل و p چگالی گاز است.

۱-۳-۳- تعادل انرژی

تغییرات دمایی به دلیل جذب گرمایی و همچنین ایجاد اثر خنک کننده و گرمایشی توسط جریان گاز خوارک/ تصفیه به داخل بستر، در نظر گرفته می شود. به دلیل شرایط عایق بندی شده در اطراف ستون در مقیاس صنعتی، بستر به عنوان سیستم آدیاباتیک در نظر گرفته شد. تعادل انرژی در رابطه با فازهای جامد و گاز به شرح زیر در نظر گرفته شد:

فاز گاز:

$$\varepsilon K_{ax} \frac{\partial^2 T}{\partial z^2} - u \rho C_{pg} \frac{\partial T}{\partial z} - \varepsilon \rho C_{pg} \frac{\partial T}{\partial t} - a_p (1 - \varepsilon) h_i (T - T_s) = 0 \quad (11-3)$$

که در این معادله، K_{ax} رسانایی حرارتی مؤثر محور بستر، T_s دمای جاذب، a_p منطقه خاصی از جاذب، h_i ضریب انتقال حرارت بین گاز و جاذب و C_{pg} ظرفیت حرارتی مخلوط گاز است که با استفاده از یک معادله در بخش ضمیمه محاسبه می شود.

بر اساس معادله زیر تخمین زده شد: K_{ax}

$$\frac{K_{ax}}{K_g} = 7 + 0.5 Pr Re \quad (12-3)$$

که در این معادله، Pr عدد Prandtl و K ، رسانایی گرمایی مخلوط گاز است که با یک معادله در بخش پیوست محاسبه شد.

فاز جامد:

$$\rho_s C_{ps} \frac{\partial T_s}{\partial t} = \rho_s \sum_{i=1}^{n_c} \left((-\Delta H_i) \frac{\partial q_i}{\partial t} + a_p h_i (T - T_s) \right) \quad (13-3)$$

که در این معادله، C_{ps} ظرفیت گرمایی جاذب و ΔH_i گرمای جذب مؤلفه i ام است. ضریب انتقال حرارت داخلی h_i از معادله زیر حاصل می شود:

$$h_i = \frac{N u_i k_i}{2 r_p} \quad (14-3)$$

که در این معادله، Nu_u عدد Nusselt است و با معادله زیر تعریف می شود:

$$Nu_i = 2 + 1.1 Pr_i^{1/3} Re^{0.6} \quad (15-3)$$

۲-۳- ایزوترم های جذب و گرمای جذب

خوارک گازی از ناخالصی های فراوانی تشکیل شده اما در این مطالعه، کربن دی اکسید، بخار آب، هیدروکربن های سنگین (C_{+3}) و مرکاپتان ها به عنوان ناخالصی ها و گونه های قابل جذب در نظر گرفته می شوند، در حالی که متنان و اتان به عنوان بخش غیر قابل جذب گاز طبیعی بر روی سطح آلومینیمی فعال و X_{13} در نظر گرفته می شوند. در میان ناخالصی ها، بخار آب و مرکاپتان به دلیل ویژگی های سطح قطبی

خود، تمایل جذب بیشتری به سمت زئولیت $13X$ دارند.

وجود بخار آب و تا حدی دی اکسید کربن، میزان تمایل زئولیت را نسبت به مرکاپتان های سبک کاهش می دهد. علاوه بر این، هیدروکربن های سنگین در فشارهای بالاتر تمایل نسبتاً زیادی نسبت به $13X$ دارند و ظرفیت جذب مرکاپتان را کاهش می دهند. از طرف دیگر، آلومینای فعال می تواند به شدت موج جذب آب با ظرفیت بالا و سپس دی اکسید کربن با ظرفیت کمتر شود، اما سایر اجزا دارای ظرفیت جذب قابل چشم پوشی هستند (در منطقه فشار عملیاتی، میزان جذب آب بر روی آلومینا تقریباً سه برابر بیشتر از کربن دی اکسید بوده و جذب دی اکسید کربن حدود سه برابر بیشتر از مرکاپتان و پروپان است).

در این مطالعه، ایزوترم های بخار آب و دی اکسید کربن بر روی $13X$ و آلومینای فعال بر اساس مطالعه Ferraira و همکاران حاصل می شوند. مرکاپتان های موجود در خوراک عنوان یک جزء توده ای با خواص اتیل - مرکاپتان تصور می شوند، زیرا اکثر مرکاپتان های گاز طبیعی در مجاورت این ماده قرار دارند. داده های ایزوترمی اتیل - مرکاپتان بر اساس مطالعه وبر و همکاران بدست آمد.

هیدروکربن های سنگین به عنوان یک جزء توده ای مشابه پروپان در نظر گرفته شده و داده ها از مطالعه و همکاران حاصل شد. در این مطالعه، ایزوترم بخار آب بر روی آلومینای فعال به جای معادله Da Silva لانگمویر به شکل بهتری با استفاده از معادله دوینین - آستاخوف مناسب شد.

معادله Dubinin-Astakhov تنها برای یک مؤلفه مجزا به صورت زیر نوشته می شود:

$$\frac{q_i^*}{q_{m,i}} = \exp\left(-\left(\frac{RT}{E_i} \ln\left(\frac{p_{0i}}{p_i}\right)\right)^m\right) \quad (16-3)$$

که در این معادله، P_i فشار جزئی مؤلفه i ام، p_{0i} فشار اشباع مؤلفه i ام، q_{mi} حداکثر ظرفیت مؤلفه بوده و ثابت است، E انرژی مشخص و m نشانگر ناهمگنی سطح می باشد. معادله گسترده لانگمویر به عنوان یک مدل ایزوترم برای جذب تعادلی هر یک از اجزای مخلوط گاز انتخاب شده به شرح زیر است:

$$\frac{q_i^*}{q_{m,i}} = \frac{B_i p_i}{1 + \sum_{j=1}^n B_j p_j} \quad (17-3)$$

در این معادله، B_i و q_{mi} به ترتیب پارامتر جذب و حداکثر ظرفیت هر جزء هستند. این پارامترها به منظور دستیابی به حداقل مجموع مربع خطای موجود بین مقدار جذب شده از طریق مدل و آزمایش، با حداقل میزان رگرسیون مربع معادله لانگمیر در داده های آزمایشی ایزوترم منفرد، پیش بینی شدند. این الگوریتم برای هر مؤلفه در دماهای مختلف انجام شد.

پارامترهای متناسب شده توسط آنالیز رگرسیون پارامترها بر اساس دما توسط معادله آرنیوس به شرح زیر

تعیین شد:

$$B_i = B_{0i} \exp\left(-\frac{\Delta H_i}{RT}\right) \quad (18-3)$$

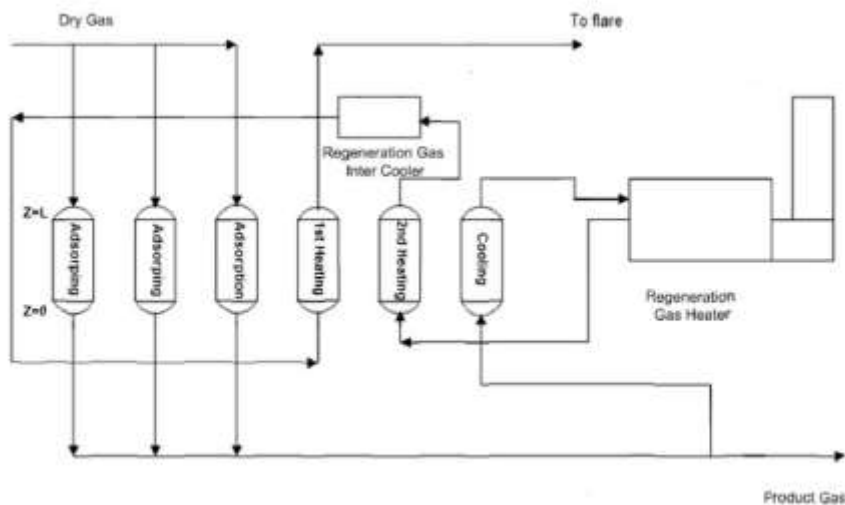
B_{0i} و ΔH_i به ترتیب ثابت انرژی پیش نمادی و جذب نامیده شده و آنها بر اساس داده های ایزوترمی مشتق شده در دماهای مختلف پیش بینی می شوند. ثابت های ایزوترمی و گرمای جذب هر یک از اجزا با رگرسیون مدل های مناسب بر روی داده های تجربی بدست می آیند و در جدول (۱-۳) نشان داده می شوند.

جدول (۱-۳) پارامترهای ثابت ایزوترم برای جاذب های مرتبط

$\frac{q_{m,i}}{kg}$	$\frac{B_{0,i}}{Mpa}$	$-\Delta H_i$ (kJ/mol)	$\frac{E_i}{kj}$ (mol)	m	
آلومینای فعال					
0.0151	3.22×10^{-7}	60.014	3.72	0.9	بخار آب
0.0011	1.94×10^{-4}	29.805	-	-	کربن دی اکسید
زئولیت ۱۳ ایکس					
0.003580	4.32×10^{-8}	65.1624	-	-	مرکاپتان
0.016842	4.82×10^{-7}	62.5258	-	-	بخار آب
0.005115	3.61×10^{-4}	34.0031	-	-	کربن دی اکسید
0.002821	3.36×10^{-4}	32.5412	-	-	پروپان

۳-۳- تشریح فرایند

در این کارخانه، هر سری شامل شش ستون عایق جذب دو لایه است که با فشار همزمان جریان توسط خوراک گاز طبیعی ورودی، کار می کنند. شکل (۳-۱) نمودار ساده ای از شرح فرآیند متوالی است. گاز ورودی از طریق سه بستر موازی در فشارهای بالا برای جذب به سمت پایین، جریان می یابد و این در حالی است که سایر بسترهای در فشارهای پایین تر و در دمای بالا برای حالت بازسازی، دارای عملکرد هستند. سرعت جریان خوراک به سمت هر یک از بسترهای حدود ۲.۲ کیلومول بر ثانیه، در دمای ۳۰۲ کلوین و فشار ۶.۸ مگاپاسکال است. مشخصات خوراک ورودی در جدول (۳-۲) نشان داده می شود.



شکل (۲-۳) نمودار شماتیک چرخه PTSA با شش بستر و مراحل متوالی (سه بستر اولیه در حالت دمای پایین و فشار بالا، دو بستر بعدی در شرایط فشار کم و دمای بالا و مورد آخر در فشار و دمای پایین قرار دارند)

جدول (۲-۳) مشخصات گاز طبیعی ورودی

پارامتر	مقدار
چگالی (kg/m ³)	0.71
وزن مولکولی (g/mole)	18.91
ویسکوزیته (Pa.s)	1.37×10^{-6}
رسانایی حرارتی (W / m.K)	0.035
کسر مولی بخار آب (ppmv)	18.2
کسر مولی مرکپتان (ppmv)	133.8
کسر مولی CO ₂ (ppmv)	1.0×10^4
کسر مولی متان (ppmv)	95.9848×10^4
کسر مولی هیدروکربن های سنگین (ppmv)	3.0×10^4

تقریباً ۶٪ از محصول خالص به عنوان خوراک تصفیه برای بازسازی بستر استفاده شده است. در مرحله

بازنگاری، ابتدا فشار بستر از ۶.۸ به ۱.۲ مگاپاسکال کاهش می‌یابد. گاز خالص شده به منظور خنک سازی بستر، از میان بستر احیا شده گرم عبور می‌کند.

پس از خنک سازی بستر مشخص، جریان خروجی توسط مبدل حرارتی تا ۵۹۰ کیلوگرم حرارت داده شده و از ستونی عبور می‌کند که متحمل فاز گرمایش از ۴۸۰ تا ۵۹۰ کلوین می‌گردد.

با توجه به شکل (۱-۳)، گاز خروجی از یک ستون دوم به منظور گرم کردن ستون از دمای محیط تا ۴۸۰ کلوین عبور می‌کند. مدت انجام هر چرخه ۳۶ ساعت طول می‌کشد و ۱۸ ساعت زمان برای جذب، ۷ ساعت برای حالت رهاسازی و یک ساعت برای مابقی موارد، نیاز است.

در هر چرخه، هر بستر مراحل چرخه زیر را طی کرده و توالی موجود در داخل بستر برای فرآیند شش بستری PTSA در شکل (۲-۳) نشان داده می‌شود.

(I) جذب در جریان رو به پایین در فشار بالا و دمای پایین

(II) کاهش فشار جریان متقابل

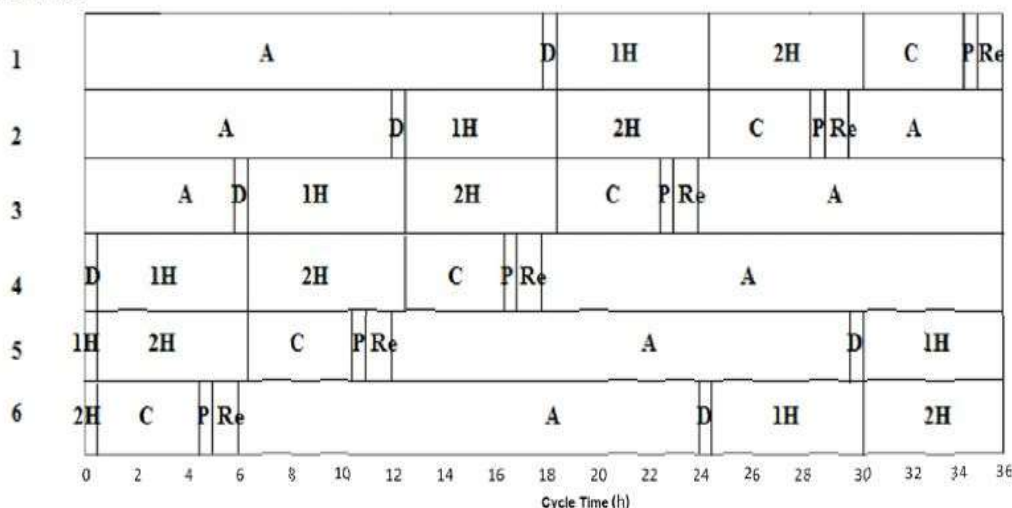
(III) روند رهاسازی با جریان متقابل اولیه در دمای بالا و فشار پایین

(IV) روند رهاسازی با جریان متقابل ثانویه در فشار پایین و دمای بالا

(V) روند خنک سازی با جریان متقابل در فشار و دمای پایین

(VI) افزایش میزان فشار با جریان همزمان و دمای پایین همراه با خوراک

Column Number



شکل (۲-۳) توالی اتصال بستر برای سیستم چند لایه PTSA با شش بستر.

هر بستر متتشکل از دو لایه آلومینای فعال و زئولیت X13 بوده که در آن آلومینای فعال در لایه فوقانی هر یک از ستون‌ها قرار می‌گیرد. مشخصات جاذب‌ها و ستون‌ها در جدول (۳-۳) ذکر می‌شود.

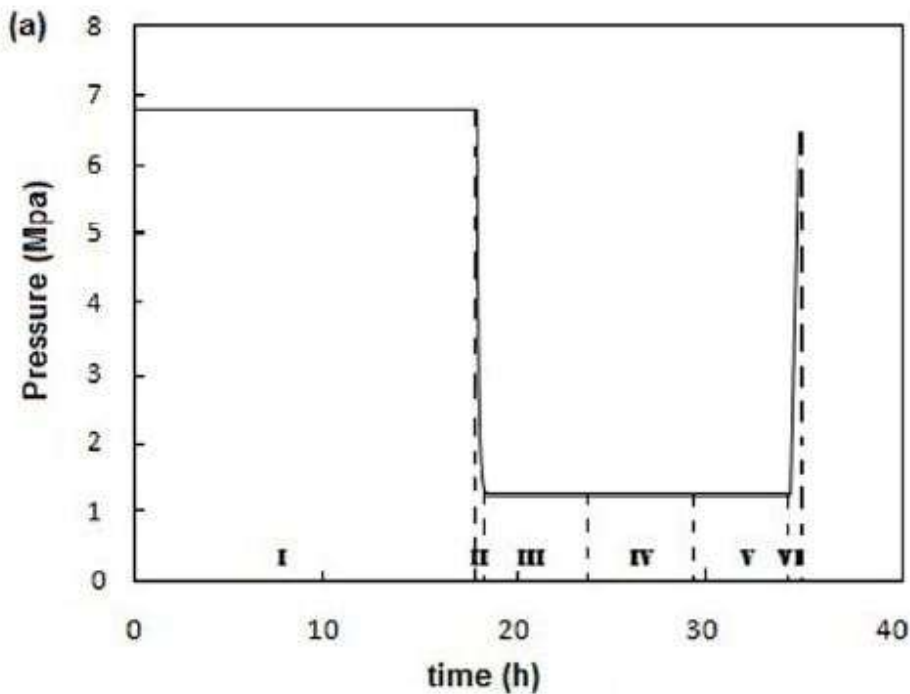
جدول (۳-۳) مشخصات جاذب ها و ستون های جذب

	زئولیت ۱۳ ایکس	آلومینیمی فعال (AC)
خواص جاذب ها		
شعاع ذرات (mm)	2.1	2.3
شعاع متوسط (nm)	2.44	4.6
کسر خالی ذرات	0.24	0.28
چگالی ذرات (g / cm ³)	1.10	1.24
ظرفیت گرمایی (kJ/kg.K)	1.07	3.85
خمیدگی	1.38	1.36
فاکتور شکل (ذرات کروی)	1	1
خصوصیات بستر جذب		
طول بستر (m)	4.65	0.75
قطر بستر (m)	3.7	3.7
کسر خالی بستر	0.37	0.26
تراکم توده ای (g / cm ³)	0.69	0.82

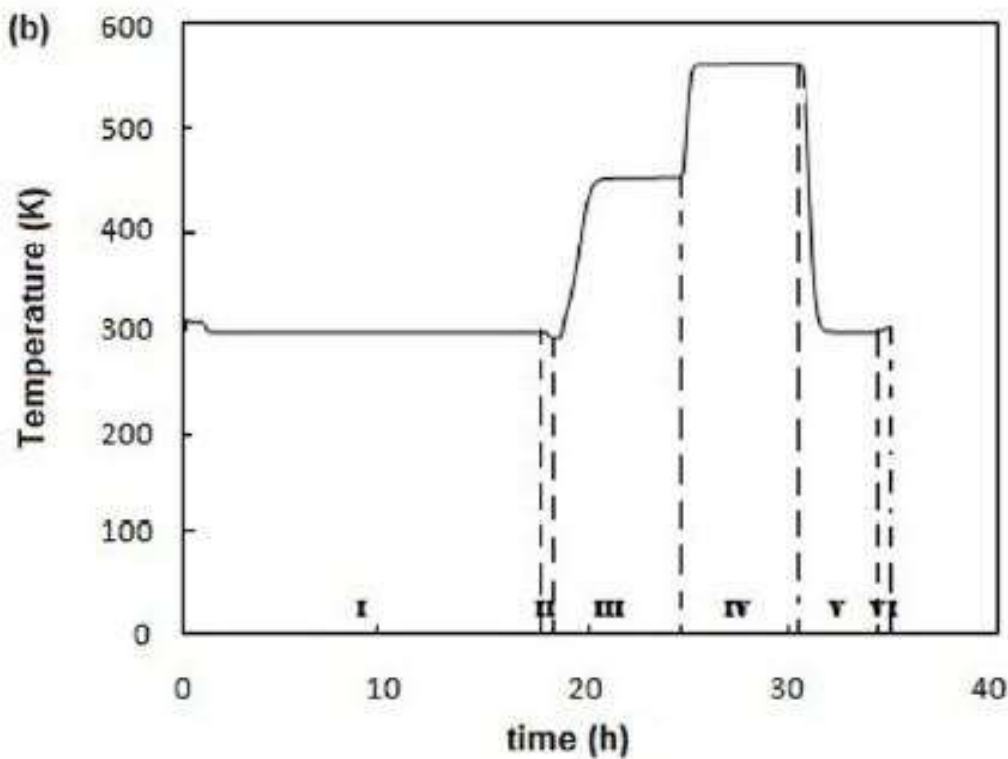
شرایط عملیاتی فرآیند و مدت زمان هر مرحله در جدول (۴-۳) نشان داده می شود. تغییرات گرافیکی فشار و دمای عملیاتی کنترل شده در طول یک چرخه و در هر مرحله در مقابل زمان، در شکل (۳-۳) نشان داده می شود.

جدول (۴-۳) شرایط عملیاتی فرآیند PTSA

مراحل	سرعت جربان (kmol/s)	فشار (Mpa)	دما (K)	زمان (h)
مرحله جذب	2.2	6.8	302	18
مرحله فشارزدایی	-	1.2 به 6.8	-	0.5
اولین مرحله گرمایش	0.134	1.24	480	6
دومین مرحله گرمایش	0.134	1.22	590	6
مرحله خنک سازی	0.134	1.21	302	4
مرحله افزایش فشار	-	1.2-6.8	-	0.5
مابقی مراحل	-	-	-	1



شکل (۳-۲) فشار عملیاتی بستر (a)؛ با زمان سپری شده در یک چرخه .PTSA



شکل (۴-۳) دما عملیاتی بستر (b)؛ با زمان سپری شده در یک چرخه .PTSA

۴-۳- راهکار عددی

تمام موارد توازن جرم و انرژی با شرایط اولیه و مرزی مناسب در برابر زمان و طول بستر به منظور دستیابی به غلظت و درجه حرارت گونه در فاز سیال و جامد، چگالی، سرعت و تغییرات فشار در برابر زمان و طول بستر در هر مرحله حل می شود. شرایط اولیه و همچنین شرایط مرزی با توجه به شرایط ورودی و خروجی به شرح زیر، نشان داده می شود.

افزایش میزان فشار با جریان همزمان:

$$t=0: C_i = C_{iR,n \text{ cycle}-1}, q_i = q_{iR,n \text{ cycle}-1}, T = T_{R,n \text{ cycle}-1} \quad (19-3)$$

که در این معادله، n_{cycle} تعداد چرخه است. مرحله افزایش فشار توسط جریان خوراک به عنوان یک جهت همزمان با مرحله جذب اجرا می شود. در این فرآیند، میزان فشار بواسطه یکتابع خطی زمان کنترل می شود و فشار در مرحله افزایش فشار به حدنهایی خود رسیده و با معادله زیر تعریف می شود:

$$P = \frac{P_H - P_L}{time_p} t + P_L \quad (20-3)$$

مراحل افزایش و کاهش فشار تنها ۰.۵ ساعت بطول می انجامد که در مقایسه با زمان جذب و بازسازی، بسیار کوتاه است. رفتار خطی یا غیرخطی فشار هیچگونه تأثیر قابل توجهی بر کلارایی فرآیند در این مدت کوتاه نداشت، بنابراین میزان وابستگی به فشار بطور خطی فرض شد. $time_p$ به عنوان زمان مرتبط با مرحله افزایش فشار محسوب می شود.

$$\begin{cases} z = 0: \frac{\partial(C_i)}{\partial z} = 0, \frac{\partial T}{\partial z} = 0, u = 0 \\ z = L: \frac{\partial(C_i)}{\partial z} = \frac{u}{D_{ax,i}}(C_{F,i} - C_i), \frac{\partial T}{\partial z} = \frac{uc_{pg}P}{K_{ax}RT}(T - T_F) \quad P = P_F \end{cases} \quad (21-3)$$

مرحله جذب:

$$t = 0: C_i = C_{iP,n \text{ cycle}}, q_i = q_{iP,n \text{ cycle}}, P = P_F, T = T_F \quad (22-3)$$

$$\begin{cases} z = 0: \frac{\partial(C_i)}{\partial z} = 0, \frac{\partial T}{\partial z} = 0 \\ z = L: \frac{\partial(C_i)}{\partial z} = \frac{u}{D_{ax,i}}(C_{F,i} - C_i), \frac{\partial T}{\partial z} = \frac{uc_{pg}P}{K_{ax}RT}(T - T_F) \quad P = P_F \quad u = u_F \end{cases} \quad (23-3)$$

مرحله کاهش فشار:

$$t=0: C_i = C_{i\text{Ancycle}}, q_i = q_{i\text{Ancycle}}, T = T_{\text{Ancycle}} \quad (24-3)$$

در این مرحله، فشار بستر براساس یکتابع خطی زمان کاهش می یابد و با استفاده از زمان مرحله کاهش فشار توسط معادله زیر، کنترل می شود:

$$P = -\frac{P_H - P_L}{time_d} t + P_L \quad (25-3)$$

که در این معادله، زمان D زمان، مرحله کاهش فشار است.

$$\begin{cases} z = 0: \frac{\partial(C_i)}{\partial z} = 0, \frac{\partial T}{\partial z} = 0, u = 0 \\ z = L: \frac{\partial(C_i)}{\partial z} = 0, \frac{\partial T}{\partial z} = 0, P = P |_{z=L} \end{cases} \quad (26-3)$$

مرحله بازسازی جریان متقابل:

$$t = 0: C_i = C_{iD,\text{ncycle}}, q_i = q_{iD,\text{ncycle}}, T = T_{D,\text{ncycle}} \quad (27-3)$$

$$\begin{cases} z = 0: \frac{\partial(C_i)}{\partial z} = -\frac{u}{D_{ax,i}}(C_i - 0), \frac{\partial T}{\partial z} = \frac{ucpgP}{K_{ax}RT}(T - T_F) & u = u_R, P = P_R \\ z = L: \frac{\partial(C_i)}{\partial z} = 0, \frac{\partial T}{\partial z} = 0 \end{cases} \quad (28-3)$$

در این معادلات، زیرنویس های F، H، L، R، A، D و P به ترتیب نشان دهنده خوراک، فشار بالا، فشار پایین، جذب، بازسازی، کاهش فشار و افزایش فشار و طول بستر است.

راهکار عددی PDE های سهمی غیرخطی حاصل از تعادل جرم و انرژی با روش ضمنی خطوط و با استفاده از روش اختلاف محدود برای مشتقات فضایی، انجام شده است. در ابتدا مشتقات فضایی دوم و اول به ترتیب با طرح دیفرانسیل مرکزی و بالادستی (رو به عقب) تشخیص داده شدند. به این ترتیب، مجموعه معادلات جزئی با توجه به اصطلاحات مرتبط با مشتق زمان به مجموعه های ODE تبدیل شدند. طول بستر به ۲۰ بخش تقسیم شد و مجموعه معادلات با استفاده از روش ضمنی Euler با گام زمانی یک ثانیه حل شد. استفاده از طرح دیفرانسیلی خلاف جهت برای مشتق درجه اول فضا و روش ضمنی اویلر برای راهکار می تواند ثبات حل عددی را تضمین کند.

۴-۲-۳- همگرایی حالت پایدار چرخه ای

جذب تک بستری یک فرآیند پویا است، در حالی که در فرآیند جذب چرخه ای می‌توان پس از عبور از برخی چرخه‌ها به شرایط پایدار دست یافت، بنابراین ترکیبات عصاره و رافینات، ثابت می‌شوند و هیچ تغییری در برابر زمان رخ نمی‌دهد. بنابراین، یک حالت پایدار چرخه ای (CSS) تعریف می‌شود که برای موقعیت یکسان در هر چرخه و متغیرهای وابسته نسبت به چرخه متوالی، ثابت می‌مانند. در مطالعه حاضر، شرایط نزدیک شدن به CSS به عنوان مقدار کل جذب شده در مرحله جذب موجود بین دو چرخه بعدی به صورت فرمول زیر تعریف می‌شود.

$$\left| \int_0^L q_i dz \right| |n_{cycle-1} - \int_0^L q_i dz | n_{cycle} | < \delta \quad (29-3)$$

که در این معادله، پارامتر همگرایی یعنی δ در معادله فوق به عنوان 10^{-5} در نظر گرفته شده است. این شرایط به عنوان معیارهای توقف شبیه سازی انتخاب شده و سپس نتایج گزارش شده است.

۴-۳- حل عددی معادلات موازنۀ جرم و انرژی

حل تحلیلی معادلات موازنۀ جرم و انرژی به دلیل ساختار غیر خطی این معادلات امکان پذیر نمی‌باشد. به همین دلیل تنها راه حل این معادلات استفاده از روش‌های عددی است.

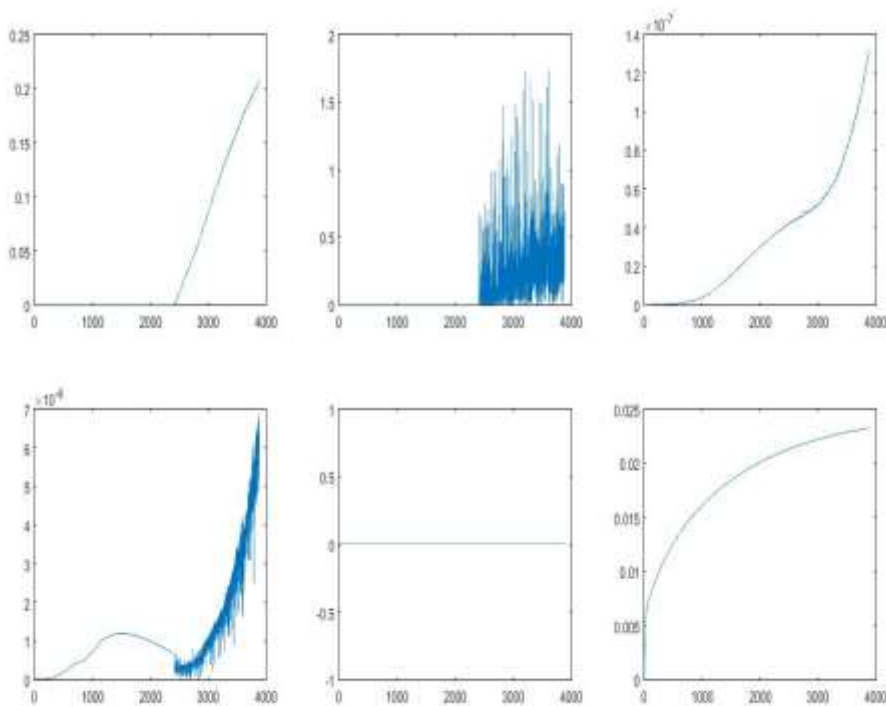
حل روش‌های عددی که شامل ترم تجمع می‌باشند به دو روش ضمنی و صریح انجام می‌گیرد. در روش صریح اولویت حل با معادلات خطی می‌باشد. حل به روش ضمنی طول گام زمانی و مکانی تاثیری زیادی بر نتایج ندارد ولی به دلیل غیر خطی بودن معادلات مجبور به استفاده از روش صریح هستیم. در روش صریح مشتق زمانی به صورت پیشرو زمانی و مشتقات درجه دوم مکانی به صورت مرکزی و درجه یک تفاضل پیشرو مکانی گستته سازی شده‌اند.

$$\frac{d^2 c_i}{dz^2} = \frac{c_i(j \cdot k + 1) + c_i(j \cdot k - 1) - 2 * c_i(j \cdot k)}{\Delta z^2}$$

$$\frac{dc_i}{dz} = \frac{c_i(j \cdot k + 1) - c_i(j \cdot k)}{\Delta z}$$

$$\frac{dc_i}{dt} = \frac{c_i(j + 1 \cdot k) - c_i(j \cdot k)}{\Delta t}$$

این روابط برای دما نیز برقرار است در این روابط ζ شمارنده زمان و k_a شمارنده در بعد مکان است. نتایج حاصل از روش صحیح به شدت وابسته به طول گام می باشد. همانطور که در شکل پایین می بینید در صورت انتخاب طول گام نامناسب نتایج نوسانی می شود. با کاهش طول گام مشکل نوسانی شدن نتایج را برطرف نمودیم.



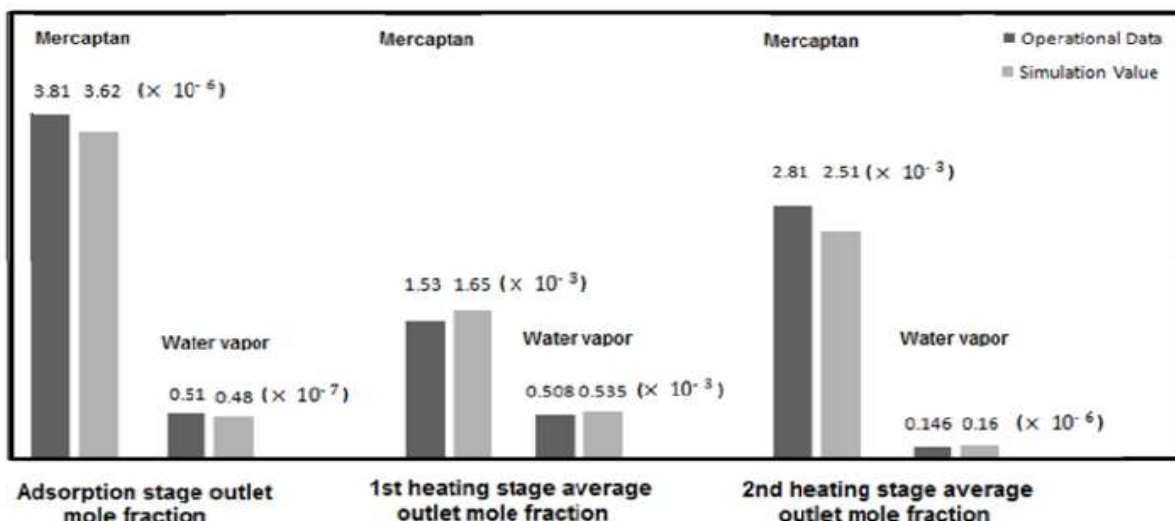
شکل (۵-۳) نوسانی بودن نتایج در صورت انتخاب طول گام نا مناسب

فصل ٤:

نتائج و تفسير آنها

۱-۴- اعتبار سنجی

مرکاپتان خروجی محاسبه شده و ترکیب بخار آب ناشی از مرحله گرمایشی با نتایج واقعی حاصل از روند موجود در شکل (۱-۴) مقایسه شده و سپس، خطای نسبی هر کدام از نتایج در جدول ۵ نشان داده می شود. میزان خطاهای نسبی در حدود ۵ تا ۱۰٪ برای مراحل مختلف بوده و نتایج شبیه سازی شده مطابقت مناسبی با پاسخ های واقعی دارند.

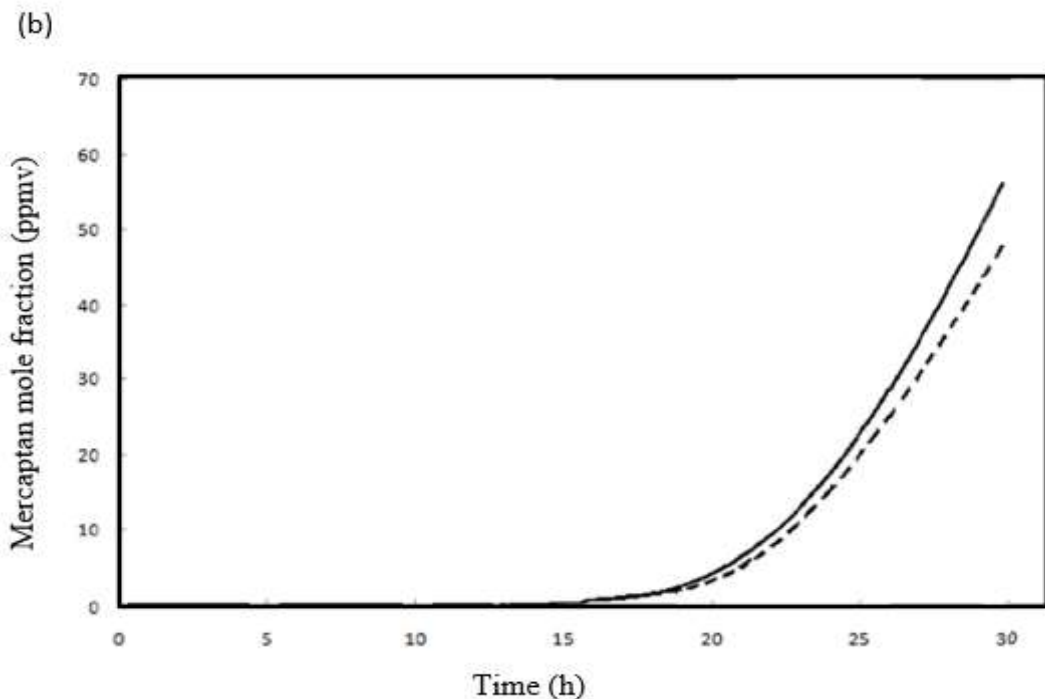


شکل (۱-۴) مقایسه نتایج شبیه سازی شده و داده های عملیاتی برای ترکیب خروجی مرکاپتان و بخار آب موجود در گاز طبیعی.

جدول (۱-۴) خطای نسبی مطلق بین نتایج شبیه سازی شده و یافته های تجاری

مرحله	خروچی مرکاپتان از مرحله جذب	خروچی آب از مرحله جذب	خروچی مرکاپتان از مرحله ۱ گرمایش	خروچی آب از مرحله ۱ گرمایش	خروچی مرکاپتان از مرحله ۲ گرمایش	خروچی آب از مرحله ۲ گرمایش
Abs خطای نسبی %	4.9	5.8	7.8	5.3	10.6	9.5

علاوه بر این، منحنی پیشرفت مرکاپتان ناشی از روند شبیه سازی در مقایسه با کارخانه واقعی در شکل (۱-۴) ارائه می شود. همانطور که مشاهده می شود، منحنی پیشرفت شبیه سازی شده مرکاپتان با داده های مرتبط با کارخانه واقعی مطابقت خوبی دارد. در شکل (۲-۴) نمودار خط چین داده های نیروگاه واقعی و خط ممتد نتایج شبیه سازی است.



شکل (۲-۴) مقایسه بین نتیجه حاصل از شبیه سازی و داده های واقعی کارخانه برای منحنی پیشرفت مرکاپتان.

۲-۴- نتایج حاصل از شبیه سازی

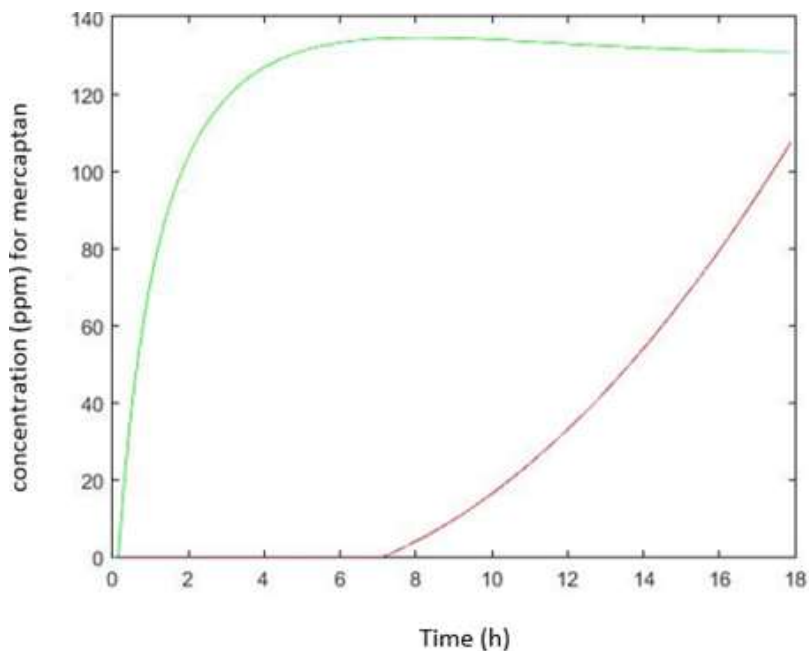
۲-۴-۱- منحنی های پیشرفت

منحنی های پیشرفت در شکل (۳-۴) برای مرکاپتان، بخار آب، C_{+3} به عنوان هیدروکربن های سنگین و دی اکسید کربن در بخش های مختلف بستر نشان داده می شود. نقاط $Z = 4.7$ متر و $Z = 5$ متر در لایه آلومینا و سایر نقاط در لایه $x = 13$ قرار دارند. همانطور که انتظار می رود، هر کسر در مقابل زمان تا هنگام دستیابی به اشباع، در حال افزایش است.

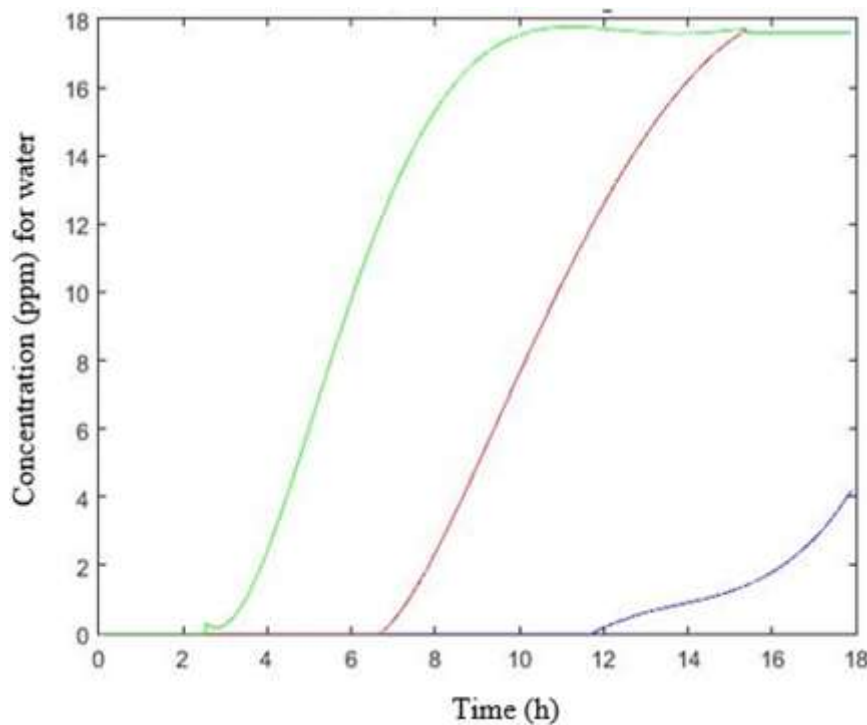
مطابق شکل (۳-۴)، در پایان مرحله جذب، غلظت مرکاپتان نزدیک به 5 ppmv در خروجی بستر است ($Z = 0.1 \text{ متر}$) و این فرآیند با سطح استاندارد مرکاپتان یعنی کمتر از 10 ppmv مطابقت دارد. منحنی پیشرفت بخار آب در شکل (۵-۴) مشاهده شده که در آن بیشترین میزان حذف آب در آلومینا صورت می گیرد، با این حال اثرات آب به لایه $x = 13$ می رسد.

منحنی های پیشرفت دی اکسید کربن در شکل (۶-۴) ارائه شده است. این منحنی ها روند اشباع بستر را

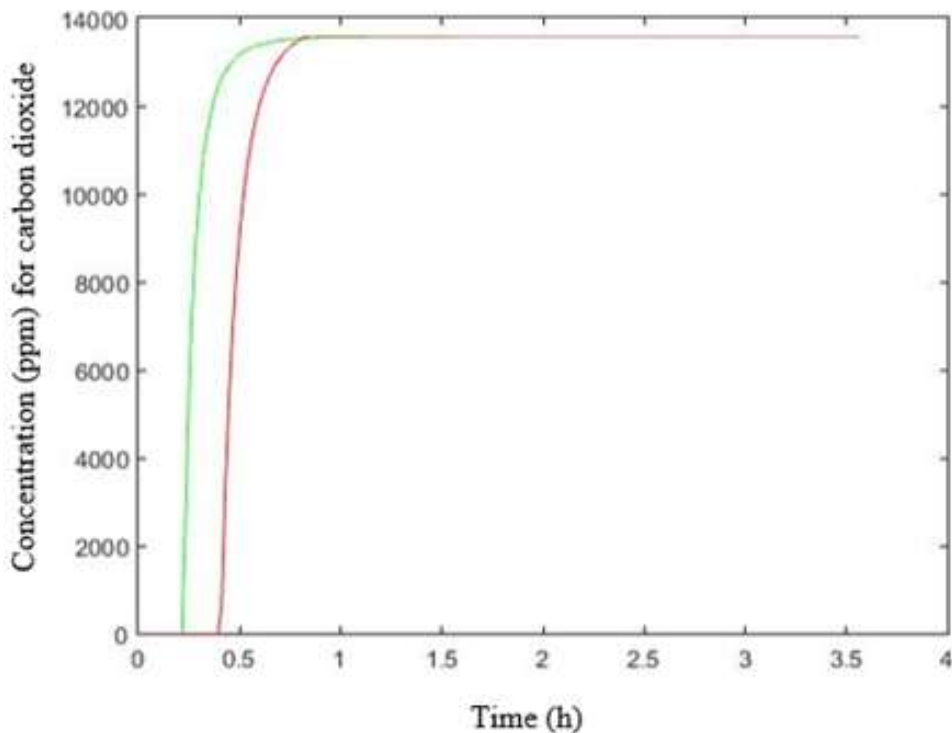
پس از ۲ ساعت فعالیت در حالت جذب نشان می دهند، زیرا غلظت بسیار بیشتری از این اجزا در جریان خوراک وجود دارد. در شکل (۴-۵) خط آبی دارای $Z=0\text{ m}$ ، خط قرمز دارای $Z=2.3\text{ m}$ و خط سبز دارای $Z=5\text{ m}$ است. علاوه بر این در شکل (۴-۶) خط قرمز دارای $Z=2.3\text{ m}$ و خط سبز دارای $Z=5\text{ m}$ است.



شکل (۴-۳) منحنی های پیشرفت مرکاپتان در مرحله جذب در قسمت های مختلف بستر در شرایط ثابت.



شکل (۴-۴) منحنی های پیشرفت بخار آب در مرحله جذب در قسمت های مختلف بستر در شرایط ثابت.

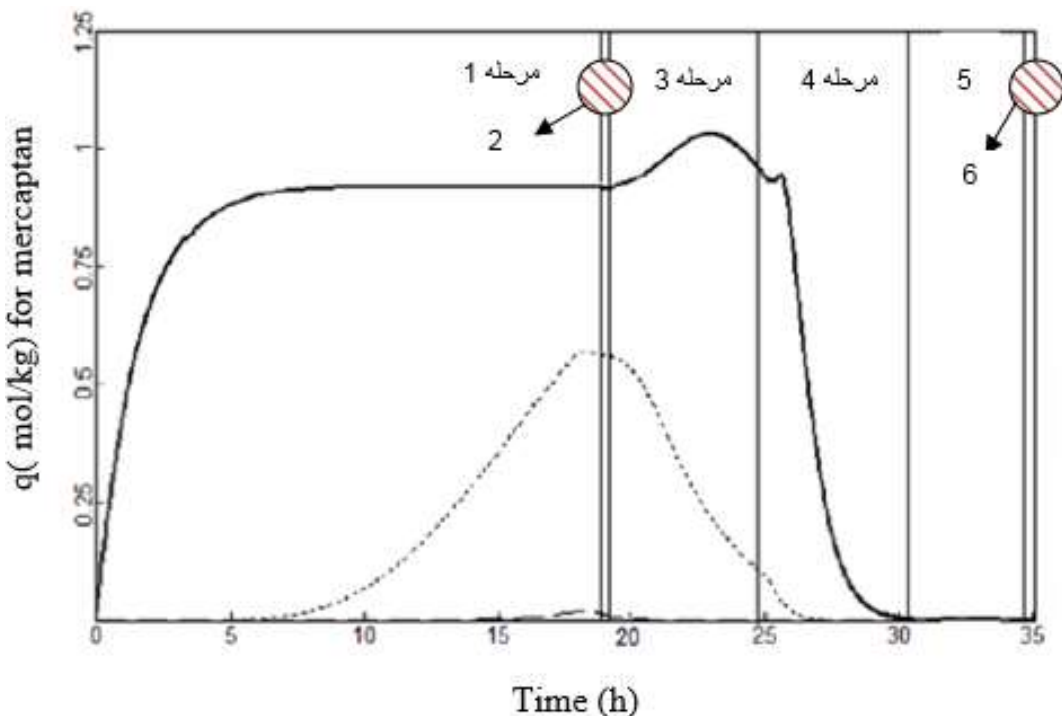


شکل (۴-۵) منحنی های پیشرفت دی اکسید کربن؛ در مرحله جذب در قسمت های مختلف بستر در شرایط ثابت.

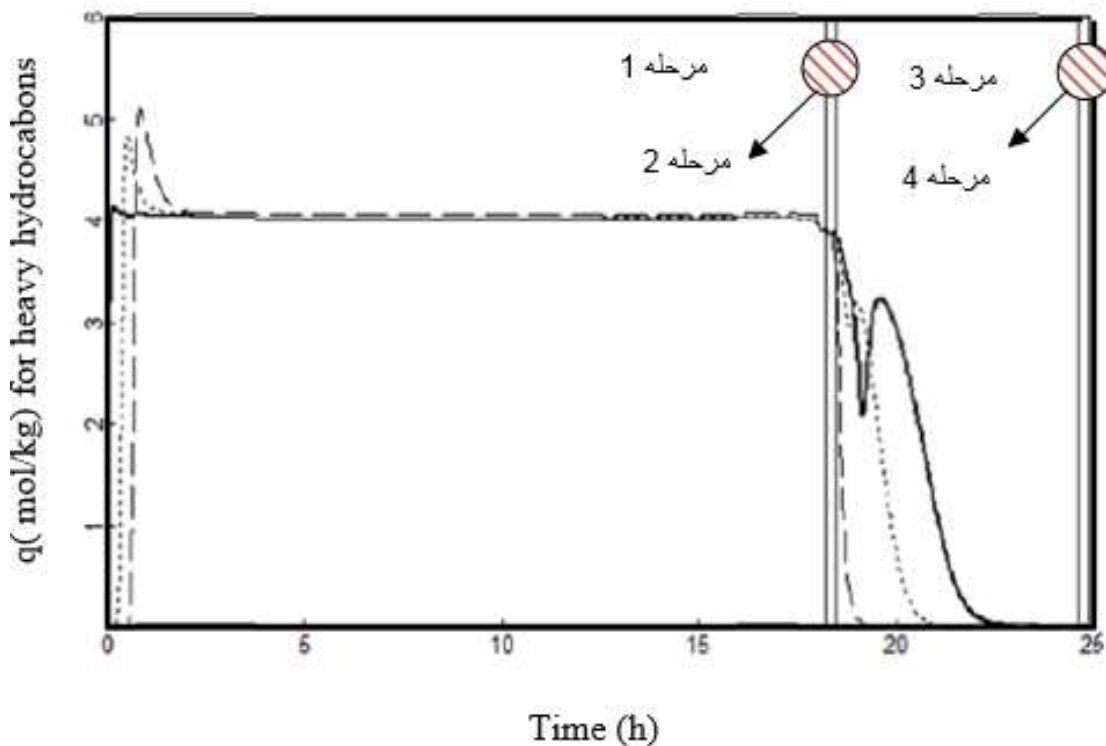
علاوه بر این، روند افزایشی رفتار C_{+3} همزمان با جذب CO_2 در لایه $13x$ رخ داده و میل جذبی ضعیف تری از $C3$ به جای CO_2 نشان می دهد. لازم به ذکر است که جذب پویای هیدروکربن های سنگین و CO_2 در شبیه سازی کنونی مورد مطالعه قرار می گیرد، زیرا آنها مانع جذب مناسب مرکاپتان می شوند و بر زمان اشباع بستر تأثیر می گذارند.

همانطور که قبل ذکر شد، آلومینیمی فعال بر روی لایه $13x$ به منظور حذف تمام بخار آب ورودی از طریق $13x$ قرار دارد.

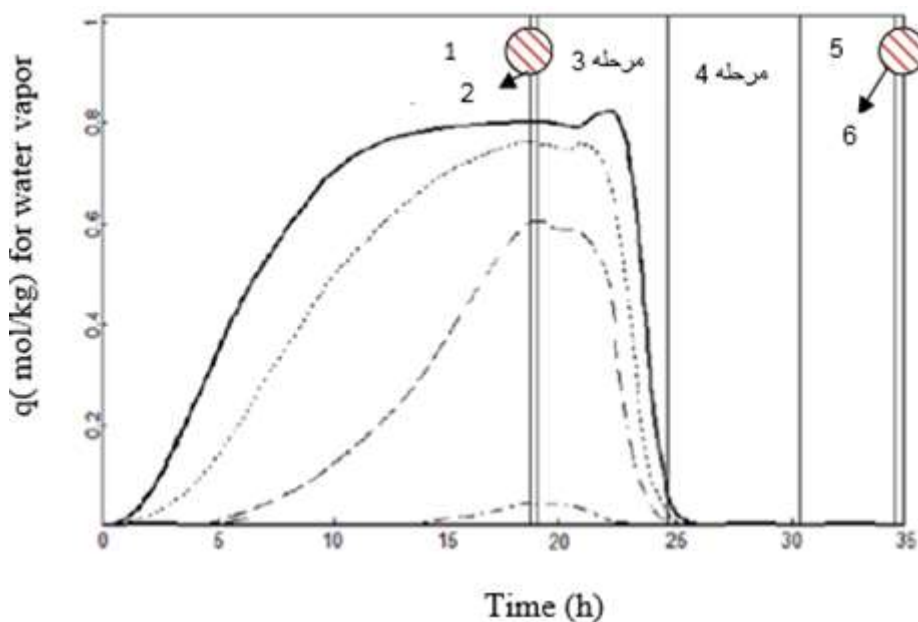
غلظت فاز جذب شده در آغاز، میانه و انتهای بستر در برابر زمان چرخه در توالی مراحل چرخه ای (جذب، کاهش فشار، رهاسازی و افزایش فشار)، در شکل (۷-۴)، شکل (۸-۴)، شکل (۹-۴) و شکل (۱۰-۴) نشان داده می شود. برای شکل (۷-۴) خط ممتد دارای $Z=0.1m$ و نقطه چین دارای $Z=2.3m$ است.



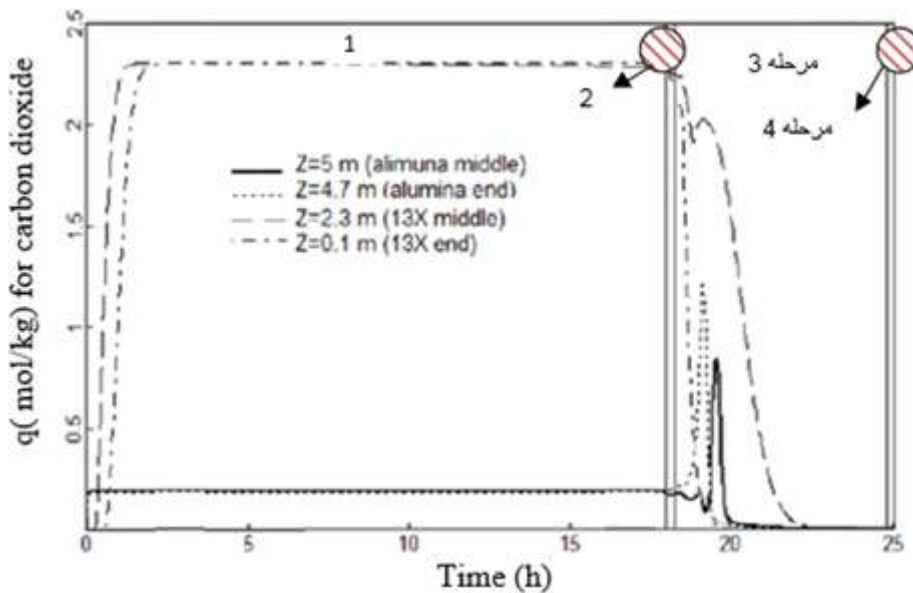
شکل (۶-۴) غلظت فاز جذب شده در مقابل زمان برای مرکاپتان؛ در قسمت های مختلف بستر در شرایط ثابت.



شکل (۷-۴) غلظت فاز جذب شده در مقابل زمان برای هیدروکربن های سنگین؛ در قسمت های مختلف بستر در شرایط ثابت.



شکل (۸-۴) غلظت فاز جذب شده در مقابل زمان برای بخار آب؛ در قسمت های مختلف بستر در شرایط ثابت.



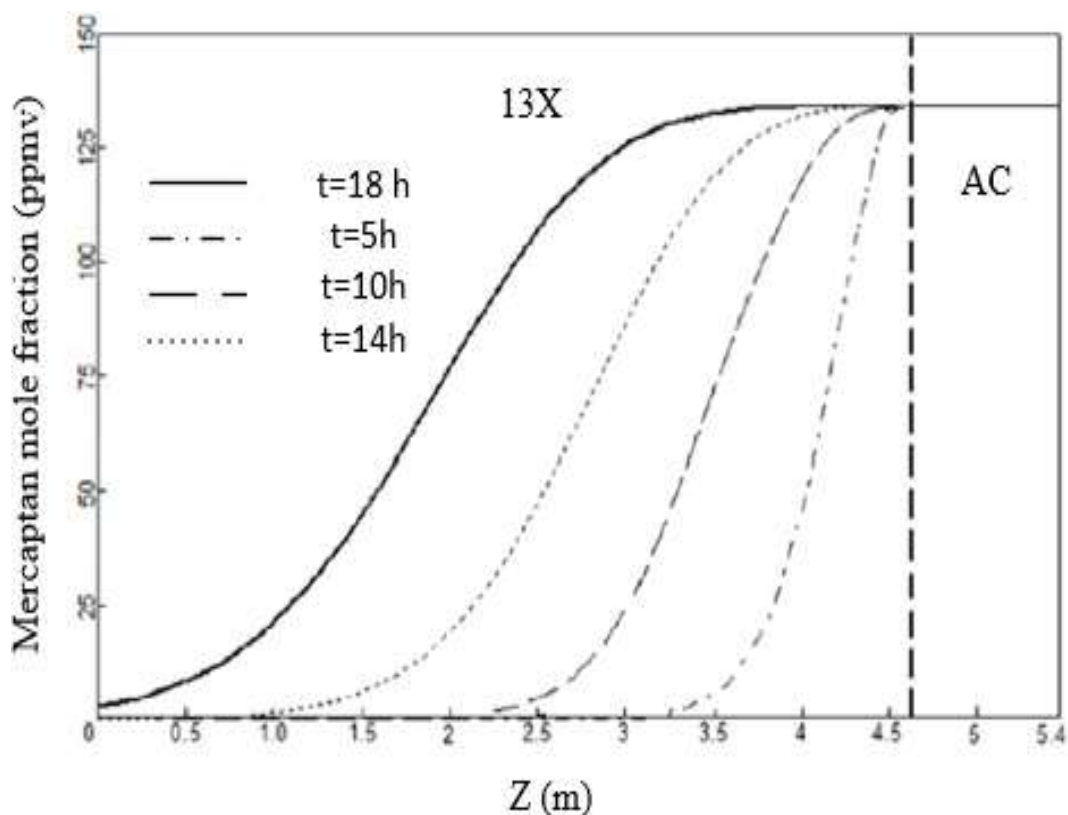
شکل (۹-۴) غلظت فاز جذب شده در مقابل زمان برای دی اکسید کربن؛ در قسمت های مختلف بستر در شرایط ثابت.

با مقایسه مرکاپتان جذب شده (شکل (۷-۴)) با هیدروکربن های سنگین (شکل (۸-۴)) و کربن دی اکسید (شکل (۱۰-۴)) مشخص شد که کربن دی اکسید و هیدروکربن های سنگین، در مدت ۲۲.۵ ساعت یعنی فقط نیمی از زمان مرحله اول حرارت دهی، کاملاً جذب می شوند و این در حالی است که بستر به دلیل حضور مرکاپتان احیا نمی شود و در مرحله گرمایش دوم، کاملاً رها می شود. این بدان معناست که به دلیل

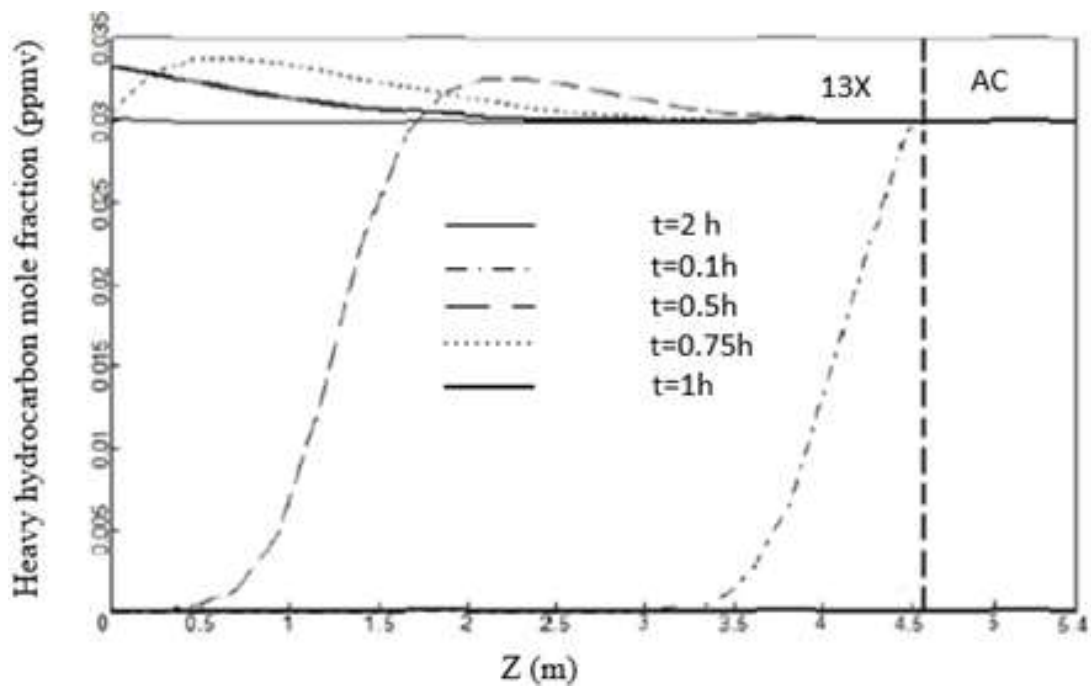
جذب زیاد و گرمایی زیاد جذب، مرحله دوم گرمایش برای رهاسازی مرکاپتان مورد نیاز است. همانطور که در شکل(۹-۴) نشان داده می شود، روند رهاسازی کامل بخار آب نیز به مدت ۲ ساعت از مرحله گرمایش دوم، نیاز دارد. اولویت لایه آلومینا به وضوح در شکل(۹-۴) در رابطه با جذب بخار آب به جای جذب CO_2 بر اساس شکل(۱۰-۴)، نشان داده می شود.

۲-۲-۴- مناطق انتقال جرم (MTZ)

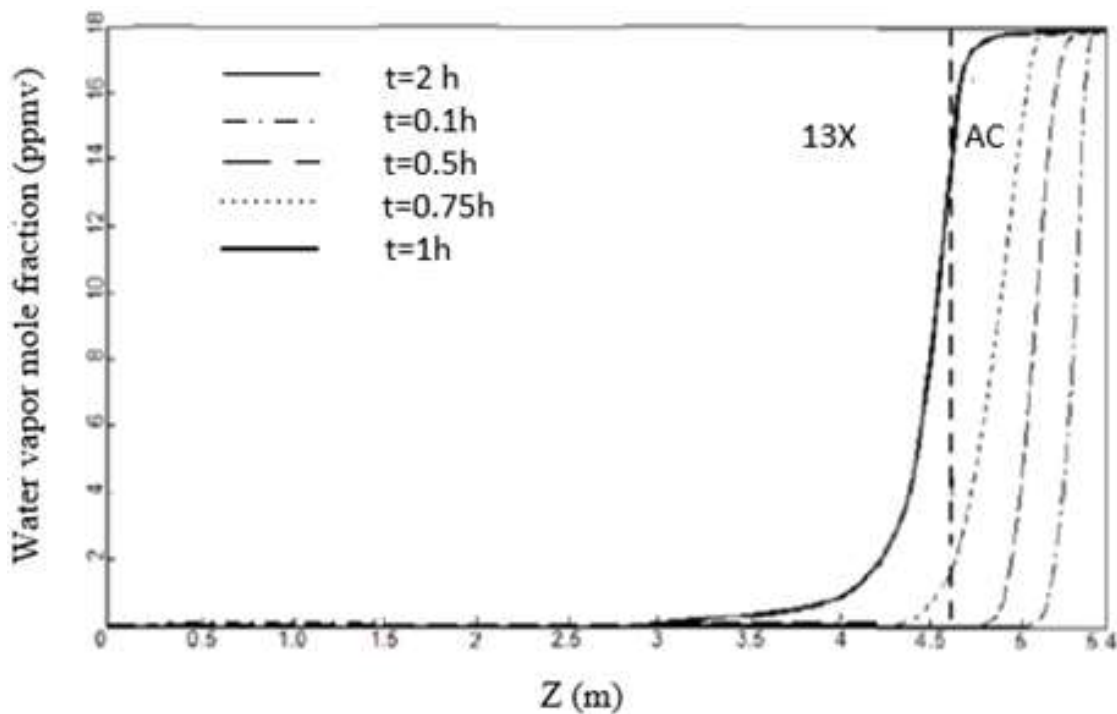
مشخصات کسر مولی هر جز در شرایط ثابت در حین جذب، مراحل گرمایشی اولیه و ثانویه برای هر جزء در زمان های مختلف برای هر دو لایه 13X و آلومینای فعال (AC)، در شکل(۱۱-۴)، شکل(۱۲-۴)، شکل(۱۳) و شکل(۱۴-۴) نشان داده می شود. با پیشرفت زمان، MTZ از بالا به پایین بستر جریان می یابد.



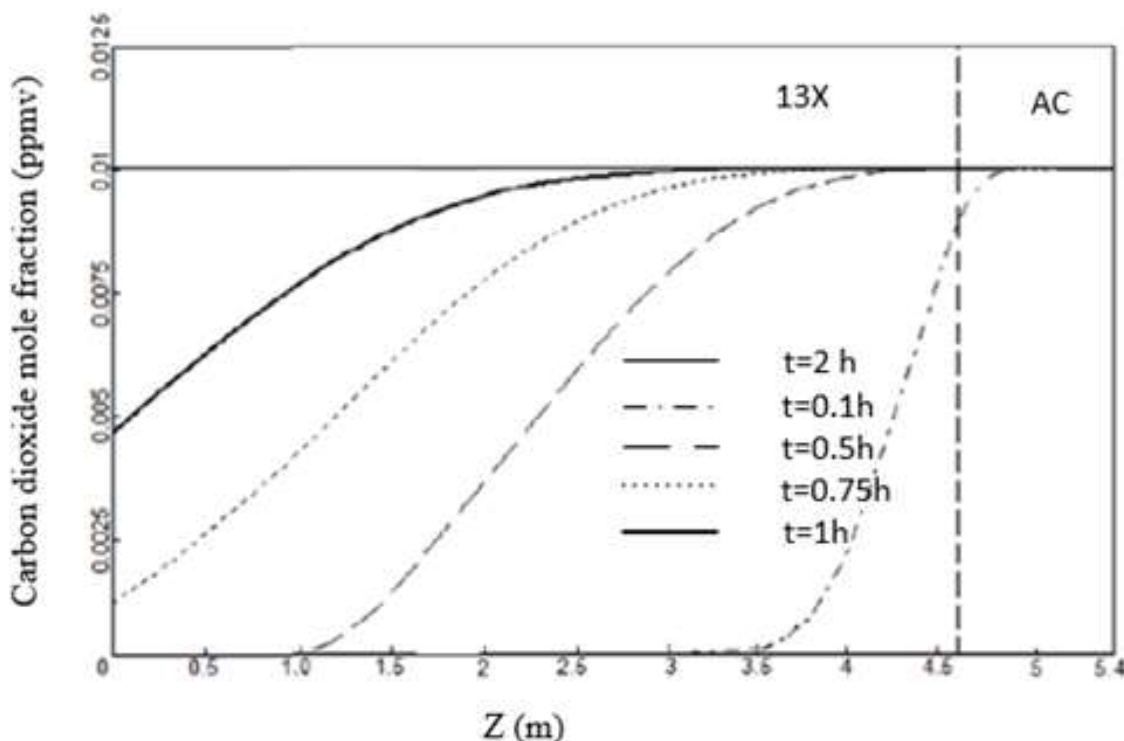
شکل (۱۰-۴) MTZ مرکاپتان؛ در زمان های مختلف مرحله جذب در حالت پایدار.



شکل (۱۱-۴) MTZ هیدروکربن های سنگین؛ در زمان های مختلف مرحله جذب در حالت پایدار.



شکل (۱۲-۴) MTZ بخار آب؛ در زمان های مختلف مرحله جذب در حالت پایدار.

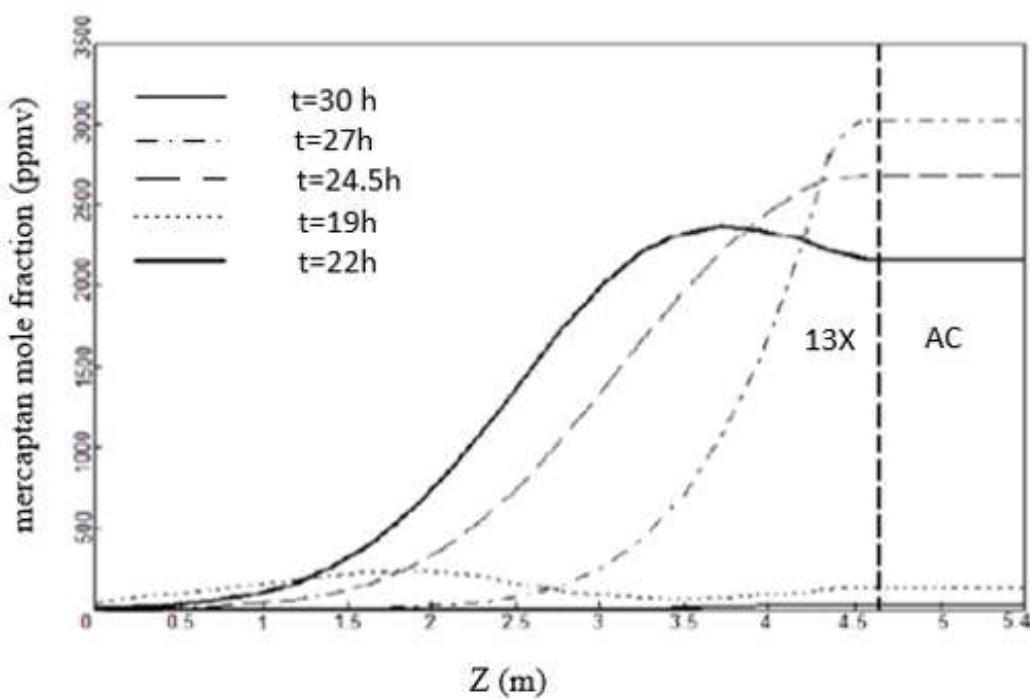


شکل (۱۳-۴) MTZ ۱۳ دی اکسید کربن ؛ در زمان های مختلف مرحله جذب در حالت پایدار.

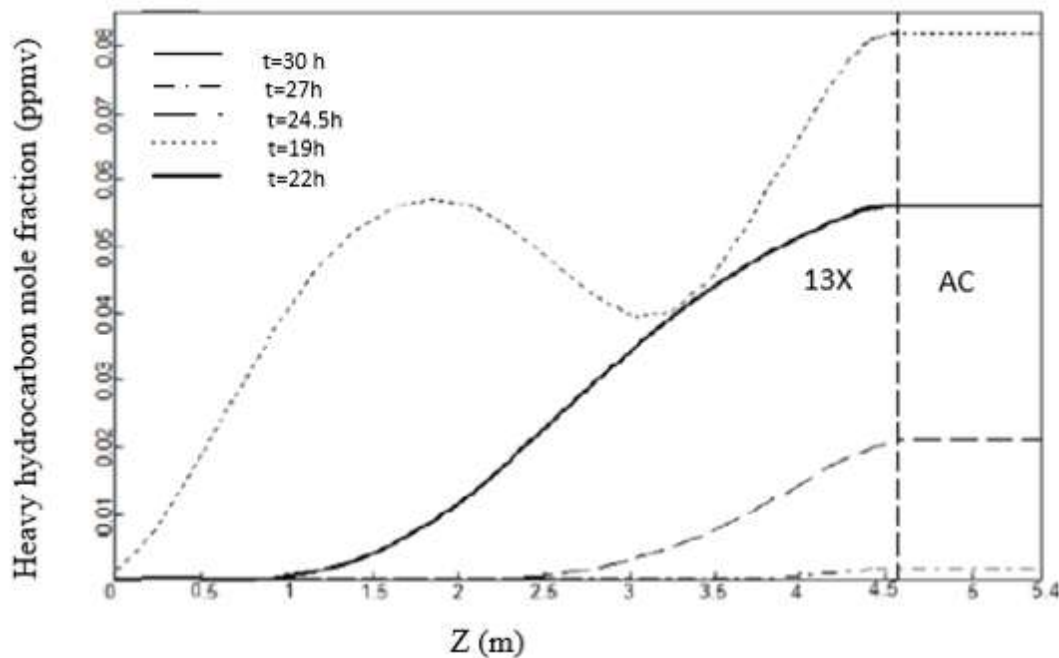
برای مرکاپتان، تمام قسمت های X13 در روند جذب شرکت می کنند و بعد از گذشت ۱۸ ساعت، MTZ به انتهای بستر نزدیک می شود. CO₂ های MTZ و هیدروکربن های سنگین پس از گذشت ۲ ساعت از پردازش به بخش تحتانی رسیده و نمایه های غلظت به یک خط مستقیم تبدیل می شوند که به معنای عدم جذب بیشتر می باشد.

بخار آب موجود در زمان های مختلف چرخه در شکل (۱۳-۴) نشان داده شده و با توجه به اینکه دی اکسید کربن و هیدروکربن های سنگین بستر را سریعاً اشغال می کنند، بخار آب به عنوان اصلی ترین رقیب جذب مرکاپتان در لایه ۱۳ X محسوب خواهد شد. پس از گذشت ۱۴ ساعت از روند فعالیت، MTZ آب از بالای AC به پایین لایه X13 گسترش یافته و کارایی ستون را مختل می کند.

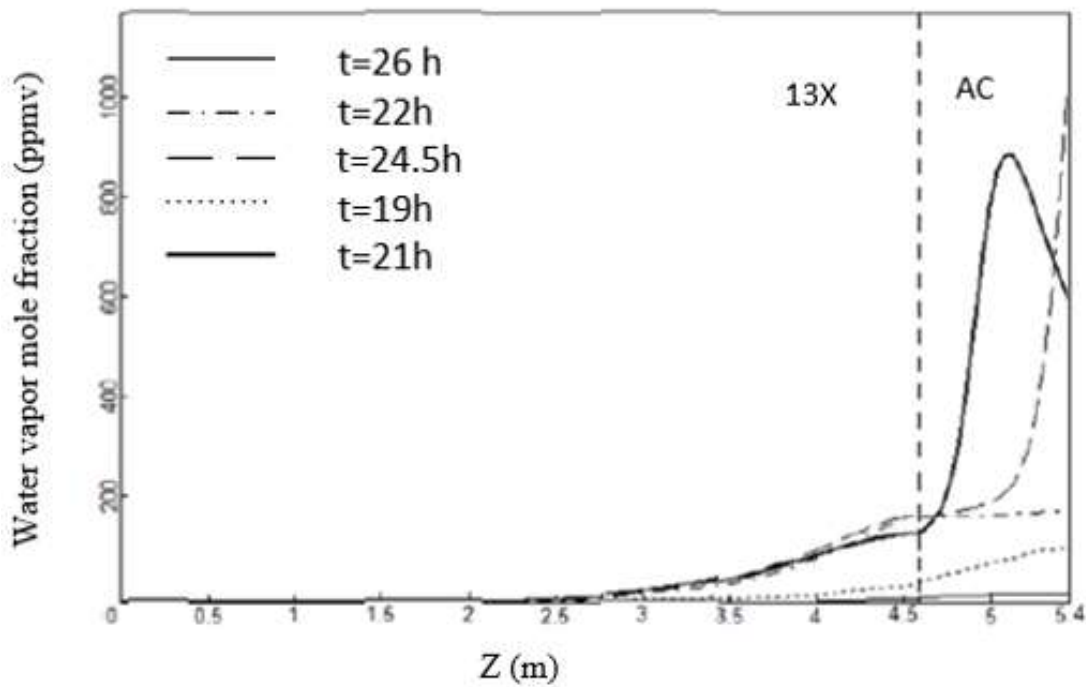
شکل (۱۵-۴)، شکل (۱۶-۴)، شکل (۱۷-۴) و شکل (۱۸-۴) MTZ ها در طی بازسازی بستر (مراحل III و IV) و در زمان های مختلف، بین ۱۹ تا ۳۰ ساعت، در رابطه با مراحل گرمایش اول و دوم نشان می دهند. مراحل گرمایش توسط کسری از محصول گرم از بخش تحتانی به فوقانی بستر انجام می شود.



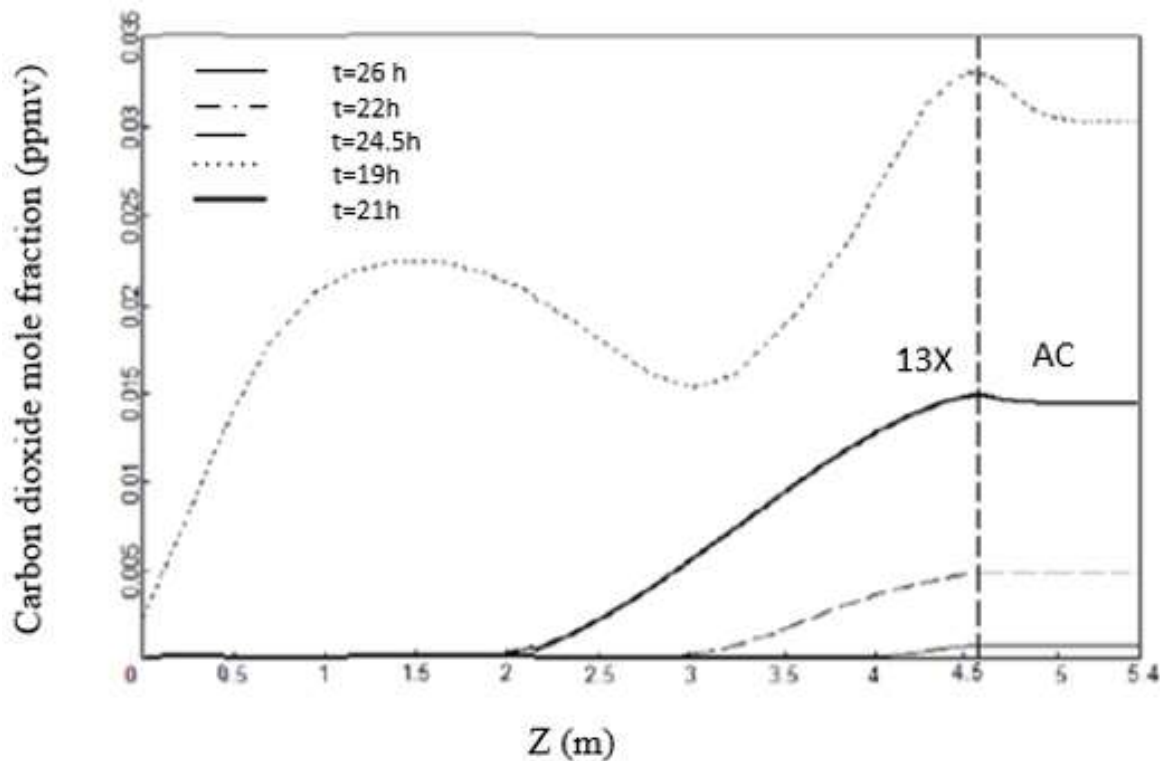
شکل (۱۴-۴) کسر مولی محوری در فاز گاز، مرکاپتان؛ در زمان های مختلف مرحله اول و دوم گرمایش در شرایط پایدار.



شکل (۱۵-۴) کسر مولی محوری در فاز گاز، هیدروکربن های سنگین؛ در زمان های مختلف مرحله اول و دوم گرمایش در شرایط پایدار.



شکل (۱۶-۴) کسر مولی محوری در فاز گاز، بخار آب؛ در زمان های مختلف مرحله اول و دوم گرمایش در شرایط پایدار.



شکل (۱۷-۴) کسر مولی محوری در فاز گاز، دی اکسید کربن؛ در زمان های مختلف مرحله اول و دوم گرمایش در شرایط پایدار.

همانطور که مشاهده می شود، ناخالصی ها با گذشت زمان از لایه پایین X13 به لایه بالای AC تخلیه می شوند. مشاهده می شود که مرکاپتان پس از گذشت ۳۰ ساعت از بستر خارج شده و پس از گذشت ۲۶ ساعت، بخار آب تخلیه شده اما این مدت برای تخلیه CO₂ و HC به میزان ۲۴ ساعت است. گرمای بالاتر جذب و تمایل جذب بیشتر مرکاپتان به X13 نسبت به CO₂ و HC، موجب ایجاد تأخیر زمانی برای تخلیه مرکاپتان از بستر می شود.

همانطور که در شکل(۱۵-۴) و شکل(۱۷-۴) در زمان های اولیه مرحله گرمایش نشان داده می شود، مرکاپتان و بخار آب MTZ غلظت گازی کمتری نسبت به دوره های آتی نشان می دهد.

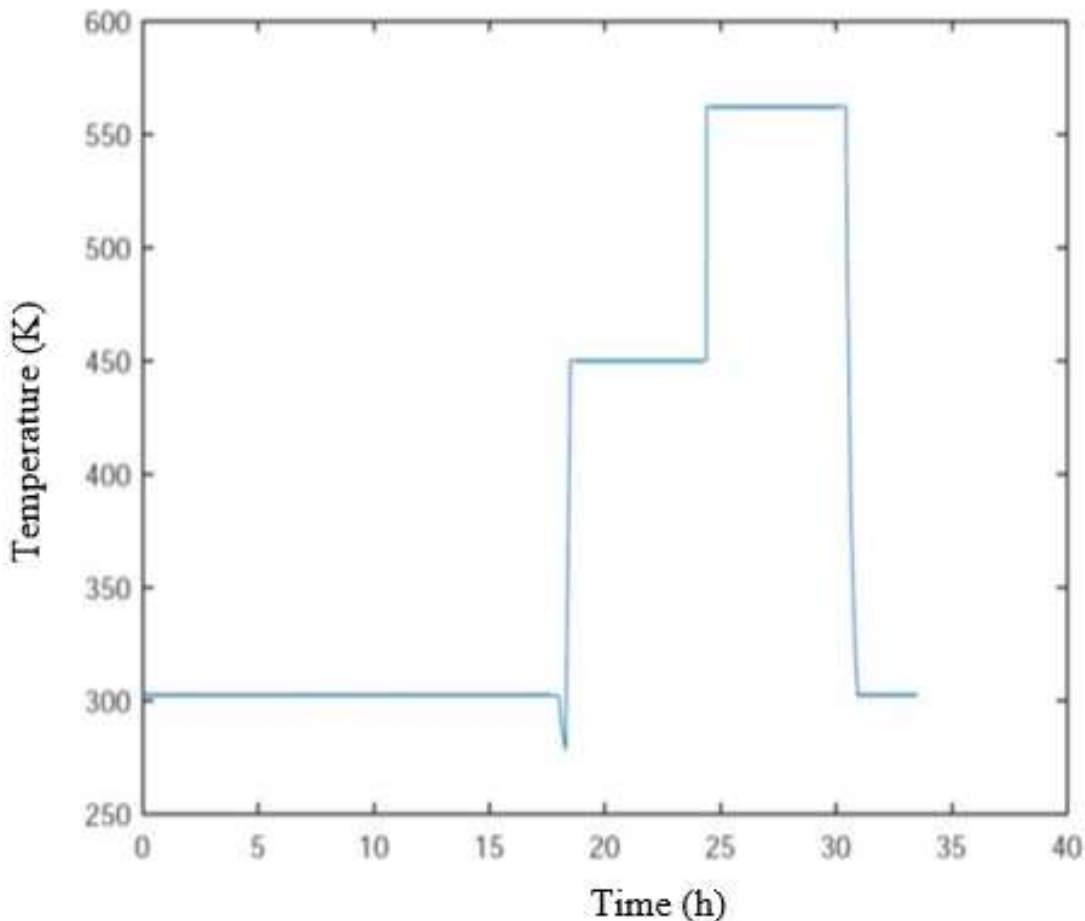
با پیشرفت زمان و انتقال گرما به بخش جامد، فرایند رهاسازی رخ داده و غلظت گونه ها در فاز گازی تا زمان تخلیه تمامی گونه ها از ماده جامد افزایش می یابد، در حالی که مطابق شکل(۱۶-۴) و شکل(۱۸-۴)، در زمان های اولیه مرحله گرمایش، مقدار قابل توجهی از CO₂ و HC در طول اولیه ستون به فاز گاز رهاسازی می شود، زیرا آنها از جذب کمتری نسبت به مرکاپتان و بخار آب برخوردارند.

۴-۲-۳- تغییر درجه حرارت ماده جامد

تغییر دمای بستر در برابر زمان در مراحل مختلف در شکل(۱۹-۴) نشان داده می شود. در حالت جذب در ابتدای فرآیند، دما به دلیل مقدار زیاد جذب دی اکسید کربن و هیدروکربن های سنگین افزایش می یابد، در حالی که در دفعات بعدی دما به میزان خوراک ورودی نزدیک می شود.

در مرحله کاهش فشار درجه حرارت ابتدا به دلیل کاهش فشار و در نتیجه رهاسازی گرماییر، کاهش می یابد. در مرحله اول گرمایش، موج کاهش دما بواسطه بستر گسترش می یابد که این امر به دلیل دفع گرمایی دی اکسید کربن و هیدروکربن های سنگین در زمان های اولیه است. در مرحله دوم حرارت دهی، اولین قسمت از بستر که در معرض محصول گرم قرار می گیرد ($Z = 0.1$), بیش از سایر قسمت هایی که در آنها جذب کمتری در مرحله جذب رخ داده است، گرم می شود.

در رابطه با مرحله خنک سازی همانند مرحله گرمایش، قسمت ابتدایی بستر در معرض خوراک سرد قرار می گیرد، بنابراین کاهش دما سریعتر از سایر قسمت ها رخ می دهد. در مرحله ایجاد فشار، به دلیل افزایش فشار بستر با القای خوراک و فرایند جذب، دما افزایش می یابد.

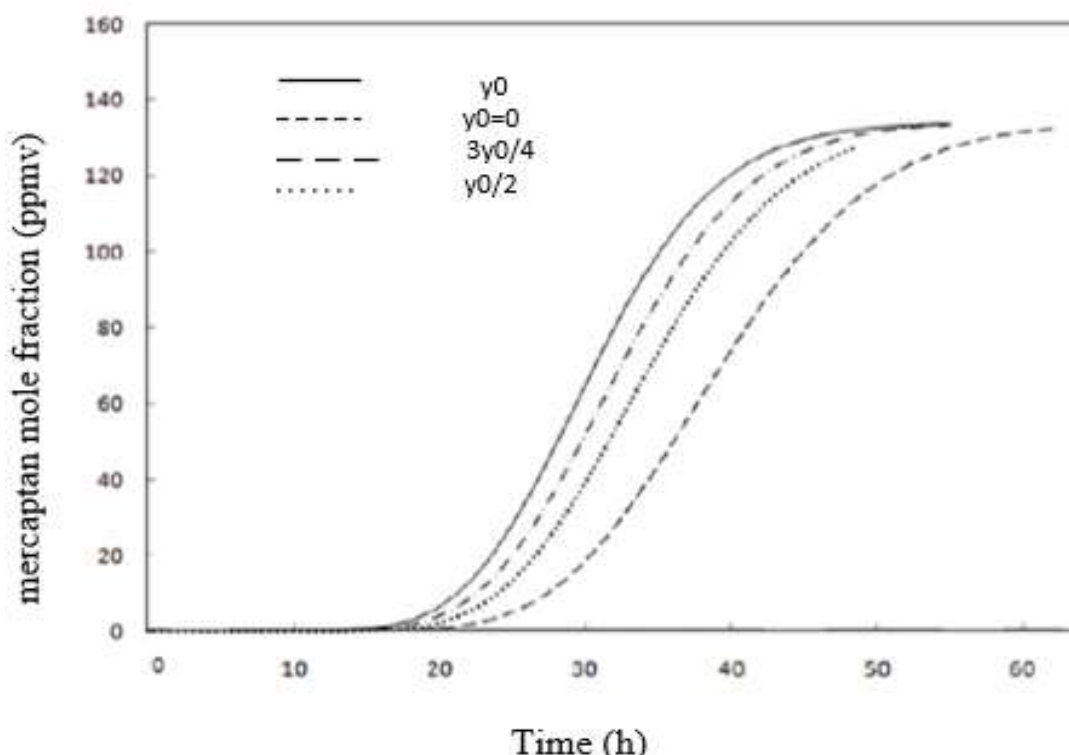


شکل (۱۸-۴) تغییرات دمایی در هر چرخه در قسمت های مختلف بستر از پایین به بالا، در شرایط ثابت.

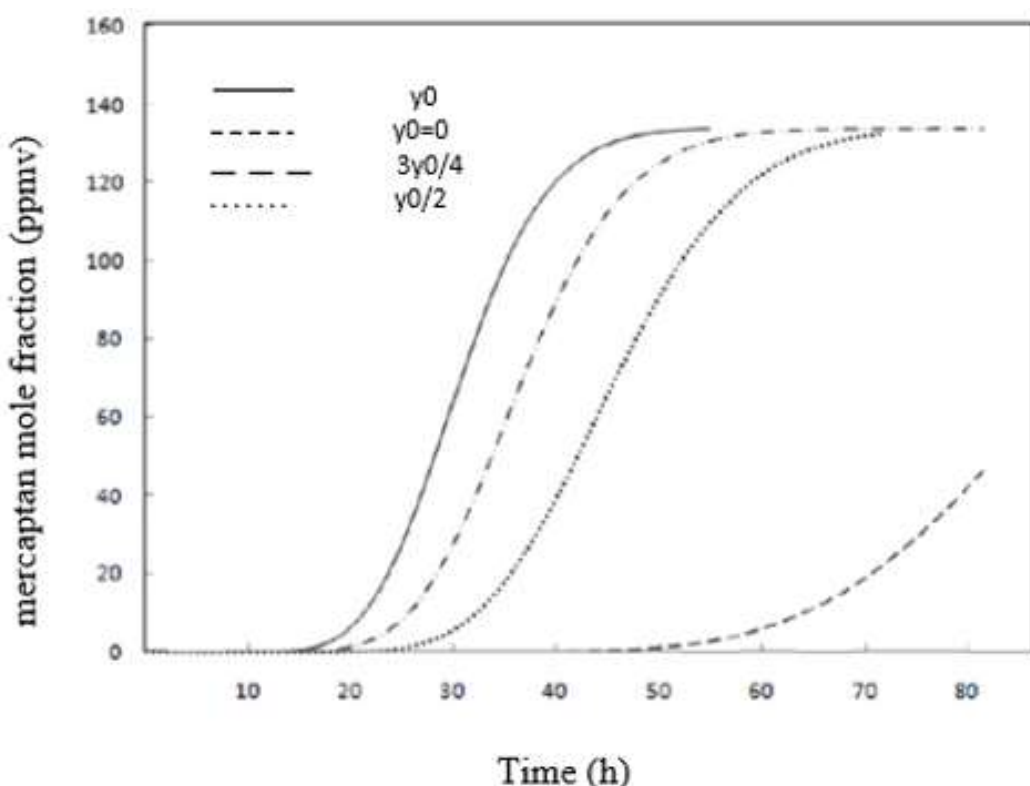
۳-۴- آنالیز پارامتری

۱-۳-۴- اثر ترکیب خوراک

ترکیب خوراک ورودی به طور معناداری بر کیفیت محصول تأثیر می گذارد و گاهی از اوقات، فرایند بالادستی ممکن است موجب تغییر در ترکیب خوراک شود. شکل (۲۰-۴) و شکل (۲۱-۴) به ترتیب اثر دی اکسید کربن و ترکیب ورودی هیدروکربن های سنگین را بر منحنی های پیشرفت مرکاپتان نشان می دهند.



شکل (۱۹-۴) مقایسه بین منحنی های پیشرفت مرکاپتان خروجی در حالت جذب، برای بخش های مختلف مول ورودی دی اکسید کربن؛ در حالت پایدار.

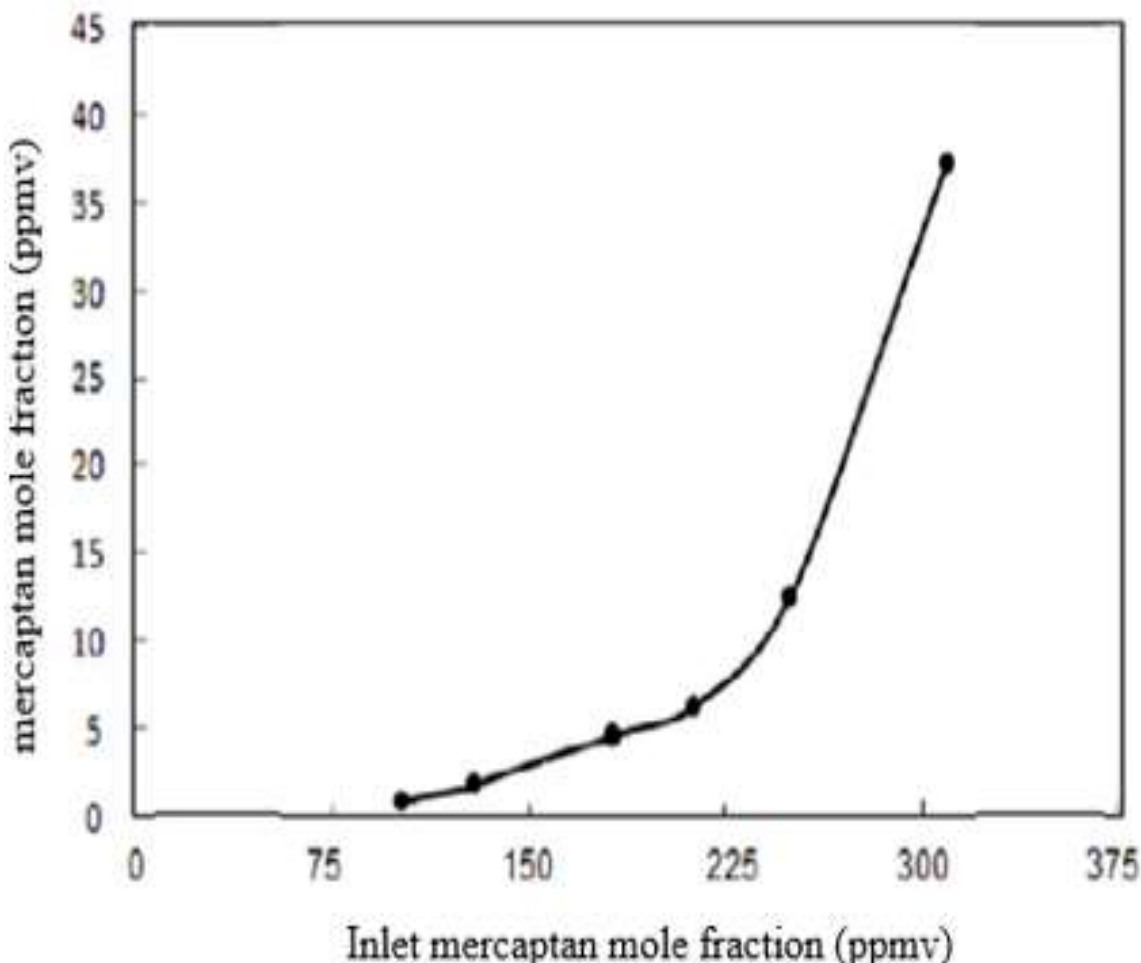


شکل (۲۰-۴) مقایسه بین منحنی های پیشرفت مرکاپتان خروجی در حالت جذب، برای بخش های مختلف مول ورودی هیدروکربن های سنگین؛ در حالت پایدار.

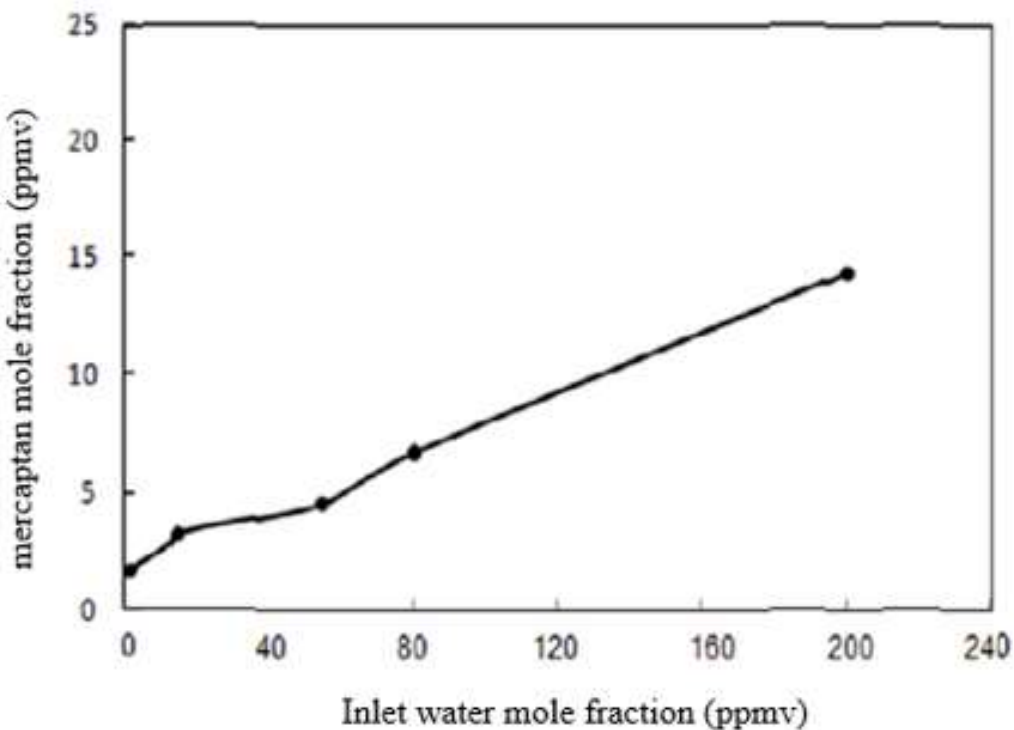
همانطور که مشاهده می شود، اثر HC بر جذب مرکاپتان بسیار معنادارتر از CO_2 است، به طوری که کاهش ۲۵ درصدی در غلظت ورودی هیدروکربن های سنگین، حدود ۴ ساعت به زمان پیشرفت در مرحله جذب می افزاید. تمایل زیاد X1۳ به HC و دی اکسید کربن موجب اشغال سطح و کاهش توانایی جذب مرکاپتان می شود.

بنابراین به عنوان یک پیشنهاد می توان گفت که جایگزینی AC با جاذب می تواند روند جذب دی اکسید کربن و همچنین بخار آب را بر روی X1۳ تسهیل کند.

همانطور که قبلاً بیان شد، بخار آب یک مؤلفه ای است که تأثیر قابل توجهی بر جذب مرکاپتان دارد و در جذب X1۳ با مرکاپتان رقابت می کند. در شکل(۲۲-۴) و شکل(۲۳-۴) تأثیر مرکاپتان ورودی و ترکیب بخار آب بر خلوص محصول نشان داده می شود.



شکل (۲۱-۴) اثر کسر مولی ورودی در مرکاپتان؛ بر روی کسر مولی خروجی مرکاپتان در شرایط پایدار.



شکل (۲۲-۴) اثر کسر مولی ورودی در بخار آب بر روی کسر مولی خروجی مرکاپتان در شرایط پایدار.

همانطور که انتظار می رفت، با افزایش غلظت ورودی بخار آب، میزان خروجی مرکاپتان با همان ارتفاع AC پیش لایه در حال افزایش است. با مقایسه شکل(۲۲-۴) و شکل(۲۳-۴)، حساسیت بیشتر جذب مرکاپتان در ارتباط با مرکاپتان ورودی نسبت به بخار آب نشان داده می شود. این امر به دلیل وجود یک پیش لایه AC است که از ورود بخار آب به لایه X_{13} ممانعت می کند.

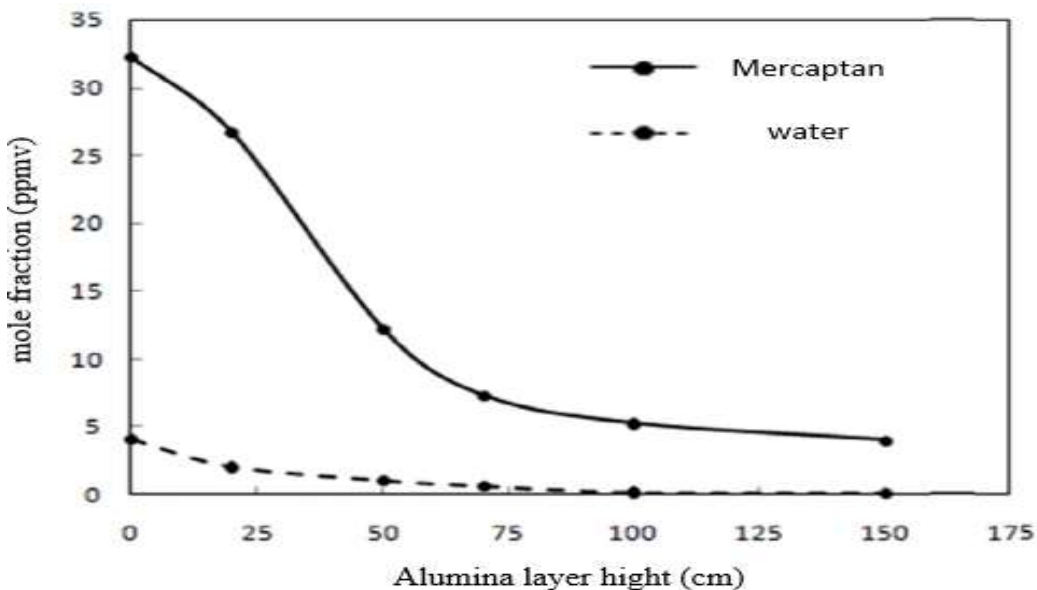
بخار آب از قبل توسط این لایه جذب می شود، در حالی که تمام مرکاپتان ها و همچنین بخار آب های باقی مانده باید توسط X_{13} جذب شوند. وجود بخار آب تا بیش از ۶۰ ppmv در خوراک، هیچ گونه تأثیر معناداری بر خلوص محصولی که در آن مرکاپتان خروجی تنها به مقدار ۵ ppmv نزدیک می شود، نشان نداده است. نتایج حاصل از شبیه سازی نشان می دهد که تمام بخار آب ورودی توسط AC جذب گردیده و برای رقابت با جذب مرکاپتان به لایه X_{13} نمی رسد. روند شبیه سازی نشان می دهد که بستر می تواند خوراک ساخته شده از ۲۳۰ ppmv از مرکاپتان و حداقل ۱۲۰ ppmv از بخار آب را با استفاده از شرایط عملیاتی تجاری یکسان، تا سطح استاندارد مورد نظر خالص کند.

اثر طول AC

لایه AC بر روی بستر به منظور جذب بخار آب از گاز طبیعی در شرایط قبل از ورود به لایه دوم ایجاد می شود. محتوای بخار آب ابتدا توسط لایه AC جذب شده و از ورود آن به لایه دوم X_{13} جلوگیری می شود.

بنابراین، طول AC عامل مهمی در طراحی ستون است.

شکل (۲۴-۴) اثر طول AC را بر مرکاپتان و کسر مول خروجی بخار آب نشان می‌دهد. همانطور که مشاهده می‌شود، با افزایش ارتفاع AC، بخش خروجی مرکاپتان و بخار آب کاهش می‌یابد. در صورت عدم وجود AC، مرکاپتان خروجی به بیش از ۳۰ ppm افزایش می‌یابد و خروجی بخار آب به ۴ ppm نزدیک می‌شود، این در حالی است که در حضور ۷۵ سانتی متر از AC بر روی X1۳، مرکاپتان می‌تواند به کمتر از ۱۰ ppmv کاهش یابد.



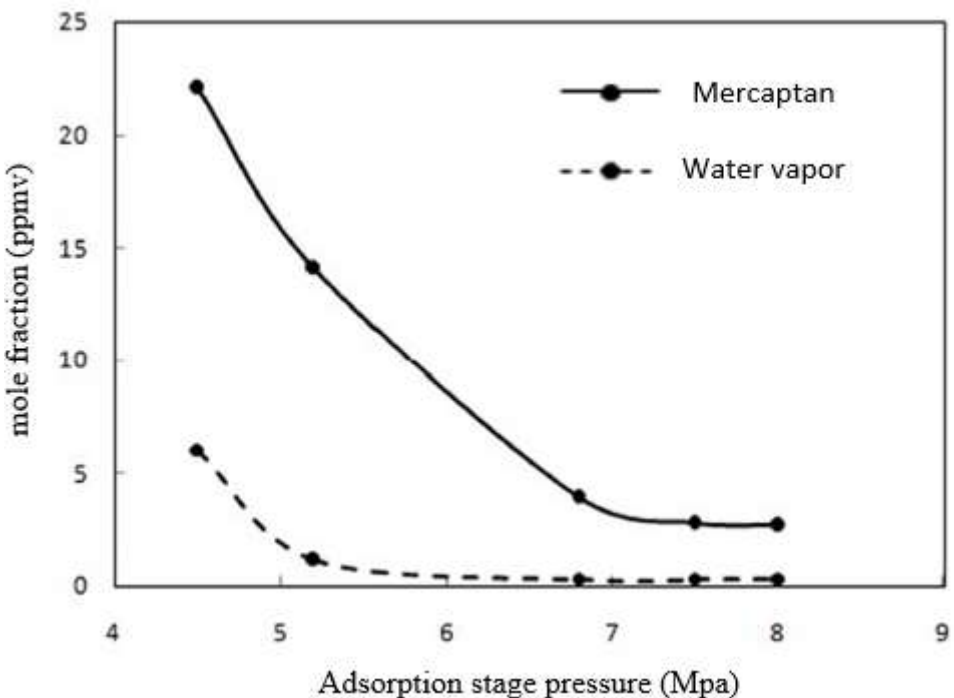
شکل (۲۴-۴) تأثیر ارتفاع AC بر کسر مولی مرکاپتان و خروجی بخار آب، در حالت پایدار.

مطابق شکل، افزایش آلومینا به بیش از ۱۰۰ سانتی متر، تأثیر معناداری بر نتایج خروجی مرکاپتان ندارد. این بدان معناست که برای ارتفاع ۱۰۰ سانتی متر و بیشتر، با جذب آلومینا به تمام محتوای بخار آب ظرفیت جذب مرکاپتان $X13$ ثابت و بدون تغییر خواهد ماند.

۲-۳-۴- تأثیر فشار بر مرحله جذب

تأثیر ناشی از فشار مرحله جذب در محدوده ۴.۵ تا ۸ مگاپاسکال بر مرکاپتان و ترکیب خروجی بخار آب در شکل (۲۵-۴) نشان داده می‌شود. افزایش میزان فشار باعث بهبود جذب تعادلی مرکاپتان و بخار آب می‌شود، بنابراین کسر ناخالصی‌ها با افزایش فشار بستر کاهش می‌یابد، با این حال تأثیر فشار بر جذب مرکاپتان بیش از جذب آب است. نتایج نشان می‌دهد که میزان بالای کارایی حذف مرکاپتان با افزایش فشار تا ۶.۸، سرعت تغییر کاهش می‌یابد و این در حالی است که میزان جذب آب به ویژه پس از رسیدن به

۵.۲ مگاپاسکال به میزان قابل توجهی وابسته به فشار نیست.



شکل (۲۴-۴) تأثیر فشار مرحله جذب بر کسر مولی خروجی مرکاپتان و بخار آب، در شرایط پایدار.

افزایش میزان فشار به منظور دستیابی به سطوح پایینتر مرکاپتان خروجی، به هزینه های بیشتری مانند برق کمپرسورها و استفاده از شیرهای گران قیمت دارد، بنابراین کشف فشار مطلوب امر بسیار مهمی به شمار می رود.

با توجه به شکل، برای یک مقدار هدف از ترکیب خروجی مرکاپتان به میزان کمتر از ۱۰ ppmv، ما می توانیم یک فشار عملیاتی در حدود ۶ مگاپاسکال را به عنوان یک گزینه مناسب برای کاهش معنادار هزینه های عملیاتی انتخاب کنیم، در حالی که روند تجاری در حال حاضر در پیرامون فشار اسمی ۶.۸ Mpa فعالیت می کند. به این ترتیب می توانیم از اتلاف تقریباً ۱۹۰ کیلووات انرژی که معادل ۳۸۰۰۰ دلار سود اقتصادی در هزینه عملیاتی در سال است، ممانعت کنیم.

۳-۳-۴- تأثیر دمای بازسازی

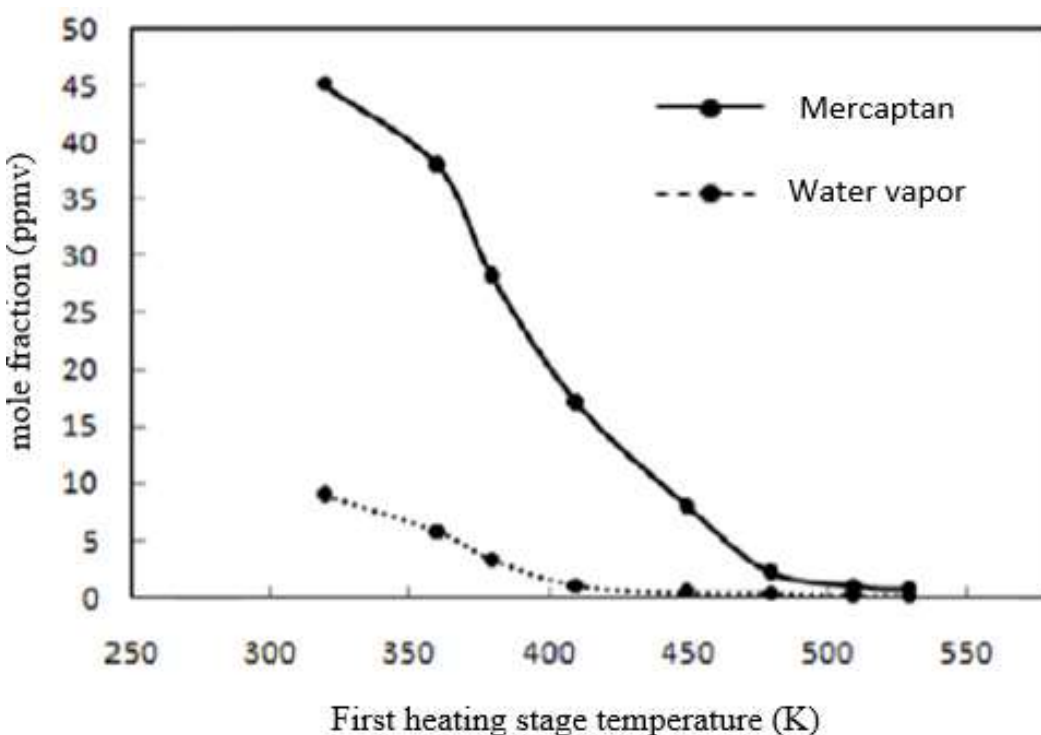
دمای مرحله اول و دوم، یکی دیگر از پارامترهای مهم در تصفیه محصول است. دمای فرآیند در مرحله اول گرمایش، 480 K و در مرحله دوم گرمایش، 590 K است. تأثیر دمای گرمایش بر کسر خروجی مرکاپتان

در شکل (۲۶-۴) و شکل (۲۷-۴) نشان داده می شود.

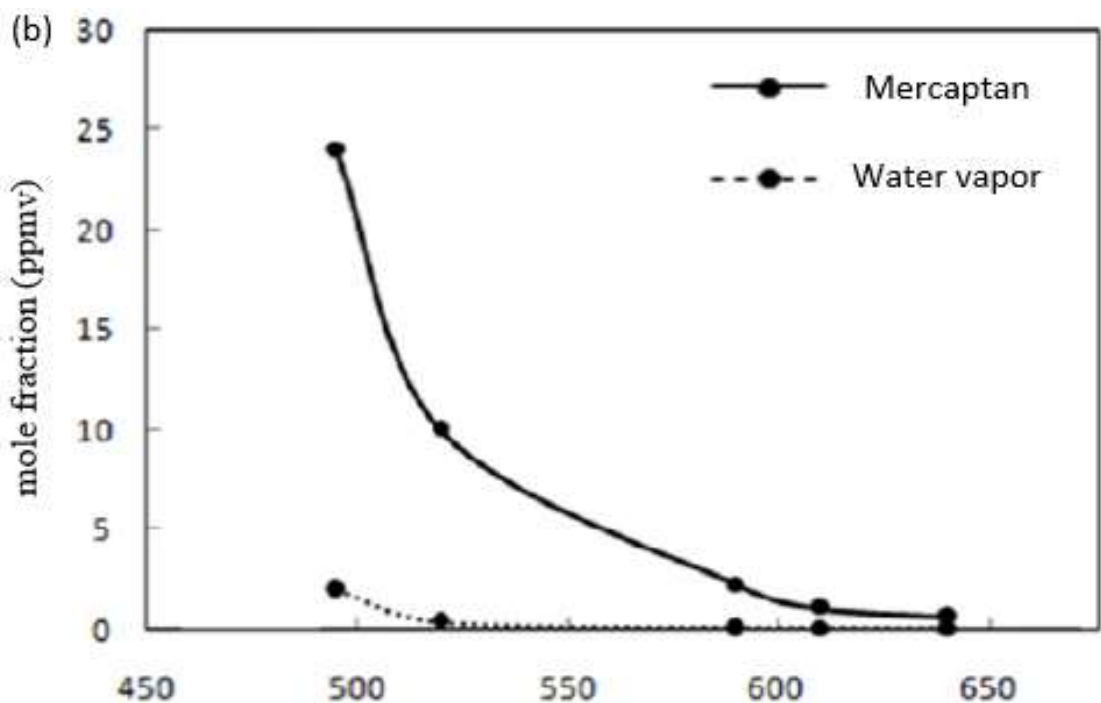
شکل (۲۶-۴) بر اساس سطوح مختلف درجه حرارت مرحله اول گرمایش و شکل (۲۷-۴) مطابق با دمای مختلف مرحله دوم گرمایش بدست می آید. هر یک از تصاویر با این فرض که دمای گرمایش مرحله دیگر در طرح اسمی خود بصورت ثابت حفظ شود، بدست می آیند. مطابق با شکل، افزایش دما در مرحله اول و نیز در مرحله دوم گرمایش منجر به کاهش میزان بخار آب و کسری خروجی مرکاپتان می شود. این روند کاهشی در هر دو مرحله گرمایشی، برای مرکاپتان شدیدتر از آب است که این امر نشان دهنده حساسیت بیشتر رهاسازی مرکاپتان نسبت به دمای است.

افزایش میزان درجه حرارت در مرحله گرمایش به بیش از 45°C در مرحله اول و بیش از 540°C در مرحله دوم، تأثیر ضعیفی در حذف مرکاپتان نشان می دهد.

در حقیقت، دمای مذکور می تواند به عنوان یک مورد اقتصادی برای صرفه جویی در مصرف انرژی و نه شرایط عملیاتی اسمی، مطرح شود. با جایگزینی دمای فوق، انرژی مورد نیاز برای گرمایش از ۱۶۵۰ (کیلووات) به ۱۴۰۰ (کیلووات) کاهش می یابد که این تقریباً برابر با ۱۱۰۰۰ (دلار / سال) کاهش در هزینه های عملیاتی است.



شکل (۲۵-۴) تأثیر دمای بازسازی بر مرکاپتان خروجی و کسر مولی بخار آب در مرحله اول؛ در حالت پایدار



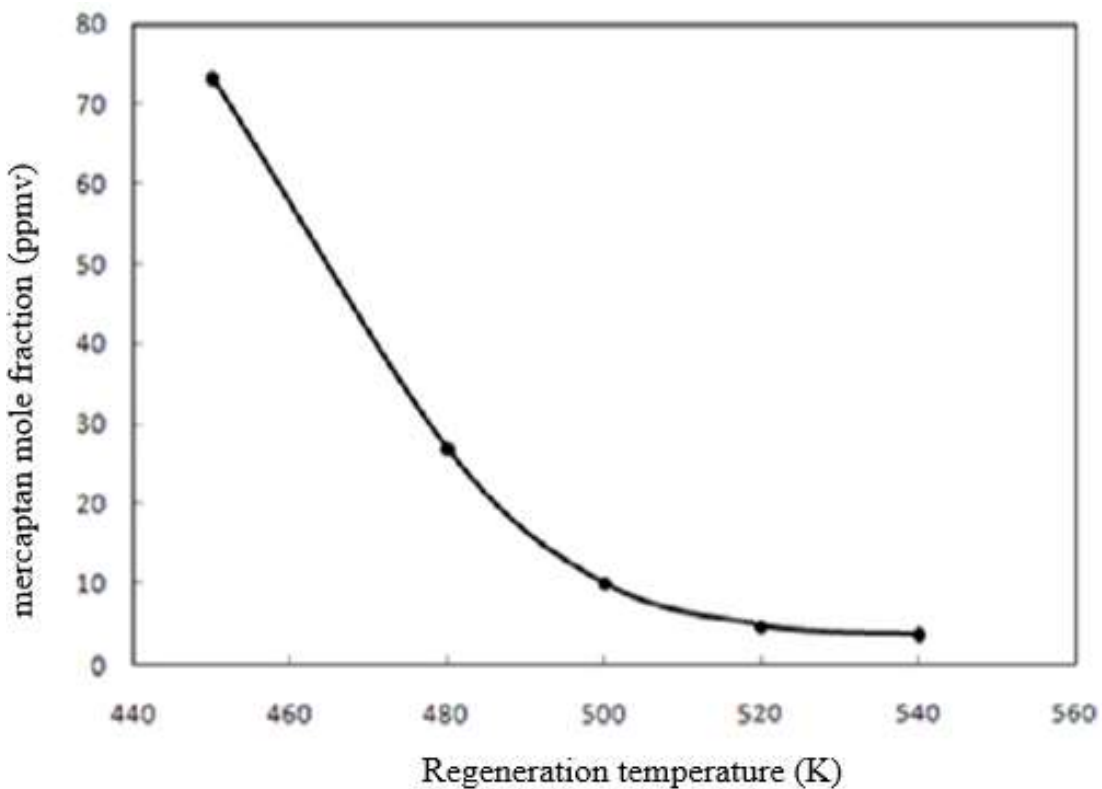
شکل (۲۶-۴) تأثیر دمای بازسازی بر مرکاپتان خروجی و کسر مولی بخار آب در مرحله دوم (b)؛ در حالت پایدار

بر اساس توضیحات ارائه شده در بخش های قبل، بخار آب در مرحله اول گرمایش تقریباً بازسازی می شود و مرحله دوم گرمایش، عمدتاً برای بازسازی مرکاپتان در نظر گرفته می شود.

این اثر به دلیل شیب بسیار کم و مقدار کسر مولی خروجی آب در مرحله دوم، مشهود است و در شکل (۲۷-۴) نشان داده می شود. بعلاوه اینکه به عنوان یک پیشنهاد، با دستیابی به درجه حرارت مطلوب و استفاده از یک مرحله گرمایش که مدت زمان آن برابر با مدت زمان ترکیبی دو مرحله است، پس از فرآیند چرخشی می توان به شرایط تصفیه مجاز و استاندارد مرکاپتان دست یافت.

شکل (۲۸-۴) کسر مولی خروجی مرکاپتان را برای یک مرحله گرمایشی در پنج دمای مختلف نشان می دهد.

شکل (۲۸-۴) کسر مولی خروجی مرکاپتان را برای یک مرحله گرمایشی در پنج درجه حرارت مختلف نشان می دهد.



شکل (۲۷-۴) کسر مولی خروجی مرکاپتان در دمای مختلف بازسازی به مدت ۱۲ ساعت در یک مرحله گرمایشی در شرایط پایدار.

بر اساس شکل (۲۸-۴)، تنها با استفاده از یک مرحله گرمایشی به مدت ۱۲ ساعت در دمای K ۵۰۰ نیز بسترهای به اندازه کافی بازسازی می‌شوند، به طوری که بستر در مرحله جذب بعدی مرکاپتان را با مقدار مجاز جذب می‌کند. این دما می‌تواند به عنوان دمای مطلوب برای زمانی انتخاب شود که بستر به جای دو مرحله در دمای K ۴۸۰ و K ۵۹۰ از یک مرحله گرمایش استفاده می‌کند.

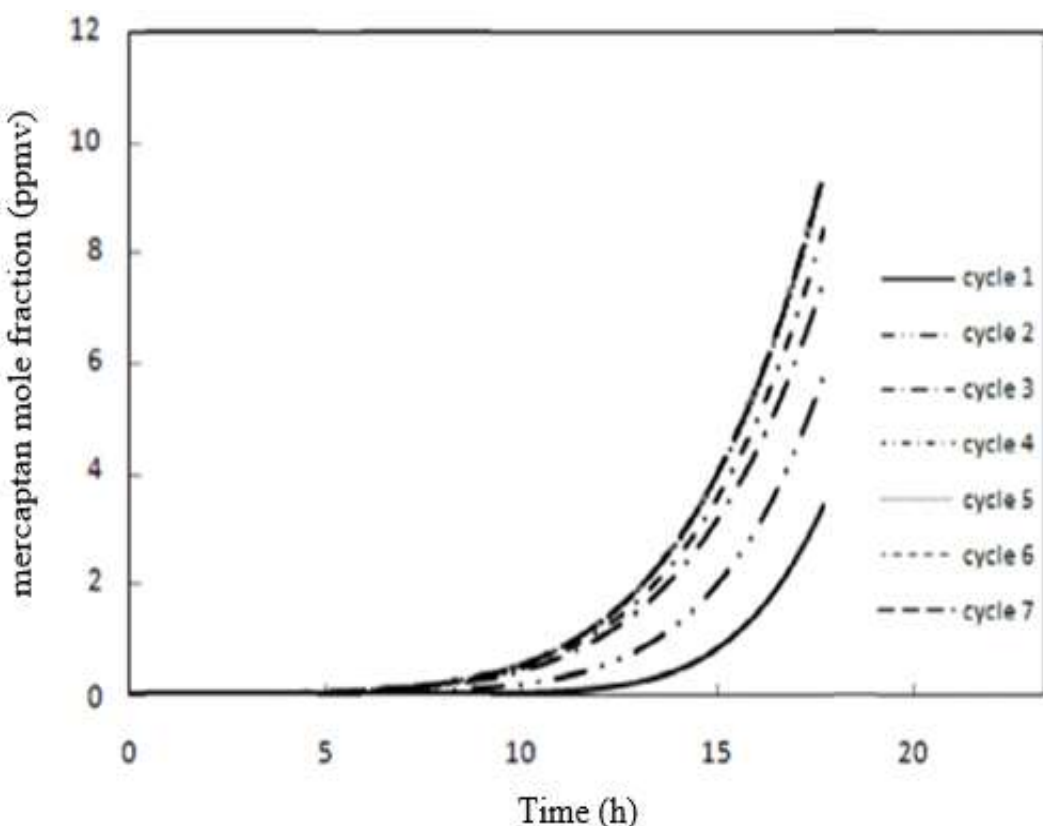
فعالیت با این دما نه تنها باعث صرفه جویی در انرژی ۲۲۵ کیلووات، بلکه باعث می‌شود که این فرآیند از کار با امکانات اضافی ممانعت کند.

۴-۳-۴- منحنی پیشرفت در شرایط جدید

سرانجام، پارامترهای عملیاتی مورد مطالعه از قبیل نسبت تصفیه به خوارک، دمای بازسازی و فشار جذب در شرایط ملایم انتخاب شده و همزمان برای تولید ناخالصی گاز طبیعی خروجی در نظر گرفته شدند. با استفاده از نتایج حاصل از آنالیز پارامتری، به جای استفاده از دو مرحله گرمایش در دماهای مختلف، مرحله

گرمایش به مدت ۱۲ ساعت در یک مرحله انجام شد و دما در $K = 510$ فشار بستر در میزان ۶.۱ مگاپاسکال ثبیت شد و نسبت تصفیه به خوراک به ۴۵٪ کاهش یافت.

منحنی پیشرفت مرحله جذب در شرایط عملیاتی ذکر شده در شکل (۲۹-۴) برای هفت چرخه راه انداز شبیه‌ساز نشان داده می‌شود و نتایج نشان می‌دهد که مقدار مرکاپتان خروجی به میزان کمتر از ۱۰ ppmv است که آن حداقل مقدار مجاز برای فرآیند حذف گوگرد از گاز طبیعی می‌باشد.



شکل (۲۸-۴) کسر مولی خروجی مرکاپتان از مرحله جذب در شرایط عملیاتی جدید و هفت چرخه متوالی حاصل از شبیه سازی.

فصل ۵:

جمع‌بندی و پیشنهادها

۱-۵- نتیجه گیری

به منظور حذف مرکاپتان از گاز طبیعی در حضور بخار آب، دی اکسید کربن و هیدروکربن‌های سنگین‌تر، مدل سازی ریاضی جذب دینامیکی چند جزئی انجام شد. این مدل در یک فرآیند جذب چرخه‌ای به منظور شبیه‌سازی فرآیند تجاری تصفیه گاز طبیعی با روش PTSA در ستون‌های دو لایه که در شش مرحله به ازای هر چرخه کار می‌کنند، استفاده شد.

جاذب‌ها به عنوان آلومینای فعال تجاری و X13 با خصوصیات مشخص و ویوگی وابسته به دمای ایزوترم بودند. سازگاری مناسب موجود بین داده‌های خروجی شبیه‌سازی شده و قابلیت واقعی، این مدل را برای شبیه‌سازی تصفیه گاز طبیعی از مرکاپتان و بخار آب در حضور ناخالصی‌های دیگر تأیید کرد. تأثیر شرایط عملیاتی بر روی بهره وری فرآیند توسط این شبیه‌ساز بررسی شد.

این نتیجه بدست آمد که ارتفاع AC یک پارامتر قابل توجه برای طراحی بوده که باید بر اساس محتوای آب خوراک و سرعت جریان ورودی بهینه شود تا از انتشار آب به لایه X13 ممانعت نموده و به راندمان بالایی از فرآیند دست یابد.

گاهی از اوقات که ناخالصی‌های خوراک به میزان زیادی افزایش می‌یابند، توجیه شرایط عملیاتی به منظور دستیابی به همان سطح استاندارد از ناخالصی‌های گوگرد، ضروری است و بنابراین، شبیه‌ساز فعلی برای پیش‌بینی شرایط جدید راه اندازی می‌شود. فشار مرحله جذب، نسبت تصفیه به خوراک و دمای بازسازی به عنوان مؤثرترین پارامترها در کارایی حذف گوگرد بودند.

نتایج حاصل نشان داد که وجود سایر ناخالصی‌ها همچون دی اکسید کربن و هیدروکربن‌های سنگین به شکل متنوعی بر روی راندمان حذف مرکاپتان تأثیر می‌گذارند. در این مطالعه، شرایط اصطلاحاً عملیاتی به منظور بررسی امکان سنجی این فرآیند تجاری برای صرفه جویی بیشتر در انرژی، توجیه شد. نتیجه حاصل از شبیه‌سازی نشان داد که با تنظیم پارامترهای عملیاتی می‌توان در مصرف انرژی بیشتر، صرفه جویی نمود.

این فرآیند تجاری به جاذب دو لایه مجهز بوده و تنها برای حذف مرکاپتان طراحی شده است، در حالی که اگر بستر به لایه سوم مانند کربن فعال CO₂ مجهز شود، فرایند حذف CO₂ می‌تواند همراه با حذف مرکاپتان انجام شود.

به این ترتیب، حذف گوگرد و CO₂ به طور همزمان قابل انجام بوده و از شبیه‌ساز ارائه شده می‌توان برای طراحی مناسب و بهینه سازی بیشتر نیروگاه جدید استفاده کرد.

مراجع

مراجع

- [1] G. Weber, J. P. Bellat, F. Benoit, and C. Paulin, "Adsorption equilibrium of light mercaptans on faujasites," *Adsorption*, vol. 11, pp. 183–188, 2005.
- [2] G. Weber, F. Benoit, J. P. Bellat, C. Paulin, P. Mougin, and M. Thomas, "Selective adsorption of ethyl mercaptan on NaX zeolite," *Microporous and Mesoporous Materials*, vol. 109, pp. 184–192, 2008.
- [3] J. P. Bellat, F. Benoit, G. Weber, C. Paulin, P. Mougin, and M. Thomas, "Adsorption equilibria of binary ethylmercaptan/hydrocarbon mixtures on a NaX zeolite," *Adsorption*, vol. 14, pp. 501–507, 2008.
- [4] M. Kim, J. Jee, Y. Bae, and C. Lee, "Parametric study of pressure swing adsorption process to purify oxygen using carbon molecular sieve," *Industrial & Engineering Chemistry Research*, vol. 44, pp. 7208–7217, 2005.
- [5] S. P. Knaebel, D. Ko, and L. T. Biegler, "Simulation and optimization of a pressure swing adsorption system: recovering hydrogen from methane," *Adsorption*, vol. 11, pp. 615–620, 2005.
- [6] A. C. Silva and A. E. Rodrigues, "Separation of n/iso-paraffins mixtures by pressure swing adsorption," *Separation and Purification Technology*, vol. 13, pp. 195–208, 1998.
- [7] A. Mendes, C. Costa, and A. Rodrigues, "Oxygen separation from air by PSA: Modelling and experimental results: Part I: Isothermal operation," *Separation and Purification Technology*, vol. 24, pp. 173–188, 2001.
- [8] S. Bashkova, A. Bagreev, and T. J. Bandosz, "Adsorption of methyl mercaptan on activated carbons," *Environmental Science & Technology*, vol. 36, pp. 2777–2782, 2002.
- [9] B. Shirani, T. Kaghazchi, and M. Beheshti, "Water and mercaptan adsorption on 13X zeolite in natural gas purification process," *Korean Journal of Chemical Engineering*, vol. 27, pp. 253–260, 2010.
- [10] L. Zhou, M. Yu, L. Zhong, and Y. Zhou, "Feasibility study on pressure swing sorption for removing H₂S from natural gas," *Chemical Engineering Science*, vol. 59, pp. 2401–2406, 2004.
- [11] W. Cho, K. Lee, and H. Chang, "Evaluation of pressure-temperature swing adsorption for sulfur hexafluoride (SF₆) recovery from SF₆ and N₂ gas mixture," *Korean Journal of Chemical Engineering*, vol. 28, pp. 2196–2201, 2011.
- [12] V. Mulgundmath and F. H. Tazel, "Optimization of carbon dioxide recovery from flue gas in a TPSA system," *Adsorption*, vol. 16, pp. 587–598, 2010.
- [13] T. S. Pugsley, F. Berruti, A. Chakma, "Computer simulation of a novel circulating fluidized bed pressure-temperature swing adsorber for recovering carbon dioxide from flue gases," *Chemical Engineering Science*, vol. 49, pp. 4465–4481, 1994.
- [14] J. D. Seader, E. J. Henley, and D. K. Roper, *Separation process principles*, 3rd Ed. New York: Wiley, 2010.
- [15] D. Ferreira and R. Magalhães, "Effective adsorption equilibrium isotherms and breakthroughs of water vapor and carbon dioxide on different adsorbents," *Industrial & Engineering Chemistry Research*, vol. 50, pp. 10201–10210, 2011.
- [16] A. Ryzhikov, V. Hulea, D. Tichit, C. Leroy, D. Anglerot, B. Coq, and P. Trens, "Methyl mercaptan and carbonyl sulfide traces removal through adsorption and catalysis on zeolites and layered double hydroxides," *Applied Catalysis A: General*, vol. 397, pp. 218–224, 2011.
- [17] M. H. Chahbani and D. Tondeur, "Mass transfer kinetics in pressure swing adsorption," *Separation and Purification Technology*, vol. 20, pp. 185–196, 2000.

مراجع

مدلسازی و شبیه سازی فرآیند جذب نوسانی فشار - دما به منظور حذف مرکاپتان از گاز طبیعی مرتبط

- [18] M. Mehdipour and S. Fatemi, "Modeling of a PSA-TSA process for separation of CH₄ from C₂ products of OCM reaction," *Separation Science and Technology*, vol. 47, pp. 1199–1212, 2012.
- [19] F. A. Da Silva, J. A. Silva, and A. E. Rodrigues, "A general package for the simulation of cyclic adsorption processes," *Adsorption*, vol. 5, pp. 229–244, 1999.
- [20] D. Green and R. Perry, *Perry's chemical engineers' handbook*, 8th Ed. New York: McGraw-Hill, 2007.
- [21] R. B. Bird, W. E. Stewart, and E. N. Lightfoot, *Transport phenomena*, 2nd Ed. New York: Wiley, 2002.
- [22] S. Farooq and D. M. Ruthven, "A comparison of linear driving force and pore diffusion models for a pressure swing adsorption bulk separation process," *Chemical Engineering Science*, vol. 45, pp. 107–115, 1990.
- [23] P. Cruz, F. D. Magalhães, and A. Mendes, "Generalized linear driving force approximation for adsorption of multicomponent mixtures," *Chemical Engineering Science*, vol. 61, pp. 3519–3531, 2006.
- [24] D. M. Ruthven, S. Farooq, and K. S. Knaebel, *Pressure swing adsorption*, 1st Ed. New York: Wiley- VCH, 1994.
- [25] M. Suzuki and J. Smith, "Axial dispersion in beds of small particles," *The Chemical Engineering Journal*, vol. 3, pp. 256-264, 1972.
- [26] R. T. Yang, *Gas separation by adsorption processes*. Boston: World Scientific Publishing Company, 1987.
- [27] N. Wakao, T. Funazkri, and S. Kaguei, "Effect of fluid dispersion coefficients on particle-to-fluid mass transfer coefficients in packed beds; Correlation of sherwood numbers," *Chemical Engineering Science*, vol. 34, pp. 325–336, 1978.
- [28] Y. Wang and M. D. Levan, "Adsorption equilibrium of carbon dioxide and water Vapor on zeolites 5A and 13X and silica gel: pure components," *Journal of Chemical & Engineering Data*, vol. 54, pp. 2839–2844, 2009.
- [29] Boroojerdi, S., Erfani, A., Dehghani, A., Hamzavi, A., Abyaneh, M.Z., 2013. Simulationassisted study of temperature, pH, energy consumption and separation performance for different amines and amine mixtures in CO₂ removal of ammonia plant. *Pet. Coal* 55 (4), 273e282
- [30] Budzianowski, W., 2011a. CO₂ reactive absorption from flue gases into aqueous ammonia solutions: the NH₃ slippage effect. *Environ. Prot. Eng* 37 (4), 5e19.
- [31] Budzianowski, W., 2011b. Mitigating NH₃ vaporization from an aqueous ammonia process for CO₂ capture. *Int. J. Chem. React. Eng.* A58. Art. No.
- [32] Budzianowski, W., 2015. Single solvents, solvent blends, and advanced solvent systems in CO₂ capture by absorption: a review. *Int. J. Glob. Warm.* 7 (2), 184e225
- [33] Budzianowski,W., Koziol, A., 2005. Stripping of ammonia from aqueous solutions in the presence of carbon dioxide. Effect of negative enhancement of mass transfer. *Chem. Eng. Res. Des.* 83 (A2), 196e204.

ضمیمه

A.1 انتشار مولکولی

انتشار مولکولی مؤلفه i در مخلوط، D_{Mi} ، با معادله زیر محاسبه می شود:

$$D_{m,i} = \frac{1 - y_i}{\sum_{x=j}^n \frac{y_i}{D_{i,x}}} \quad (A.1)$$

که در این معادله، y_i کسر مولی مؤلفه i ام و n تعداد کل اجزا در مخلوط گاز است. انتشار مولکولی هر مؤلفه از میان مخلوط به عنوان معادله زیر در نظر گرفته شد، زیرا متان مؤلفه غالب می باشد:

$$D_{m,i} = D_{CH4,i} = D_{i,j} \quad (A.2)$$

که در این معادله، نفوذ پذیری مولکولی i مخلوط های گازی دوظرفیته توسط معادله ویلک-لی محاسبه شد.

پیش بینی و همبستگی خواص فیزیکی: متان مؤلفه غالب فاز گازی است، بنابراین تمامی خصوصیات فیزیکی به عنوان خواص متان در نظر گرفته می شود. ظرفیت حرارتی ویژه گاز خالص، C_{pg} به شرح زیر محاسبه شده است:

$$C_{pg} = a + b \left(\frac{c}{T} \times \frac{2}{(\exp(\frac{c}{T}) - \exp(-\frac{c}{T}))} \right) + d \left(\frac{e}{T} \times \frac{2}{(\exp(\frac{e}{T}) - \exp(-\frac{e}{T}))} \right) \quad (A.3)$$

که در این معادله، ضرایب همبستگی فوق در جدول A2 ذکر می شود.

جدول (A2) ضرایب همبستگی ظرفیت گرمایی متان

	a $\times 10^{-4}(j \cdot mol^{-1} \cdot K^{-1})$	b $\times 10^{-3}(j \cdot mol^{-1} \cdot K^{-1})$	c $\times 10^{-3}(K)$	d $\times 10^{-4}(j \cdot mol^{-1} \cdot K^{-1})$	e $\times 10^{-4}(K)$
CH ₄	3.33	0.7993	2.0869	4.16	9.92

به منظور پیش بینی گرانروی گاز خالص در فشارهای بالا از معادله زیر استفاده شد:

$$\mu - \mu_0 = 5 \times 10^{-11} \frac{M^{\frac{1}{2}} P_c^{\frac{2}{3}}}{T_c^{\frac{1}{6}}} (\exp(1.493\rho r) - \exp(-1.11\rho r^{1.858})) \quad (A.4)$$

که در این معادله، T_c ، P_c و ρ_r به ترتیب فشار بحرانی، دمای بحرانی و کاهش تراکم، Mo ویسکوزیته فشار پایین با توجه به معادله زیر است:

$$\mu_0 = 4.6 \times 10^{-7} \frac{NM^{\frac{1}{2}} P_c^{\frac{2}{3}}}{T_c^{\frac{1}{6}}} \quad (A.5)$$

که در آن:

$$N = 0.00034 T_r^{0.94} \text{ for } T_r \leq 1.5 \quad (A.6)$$

$$N = 0.0001778 (4.85 T_r - 1.67)^{0.625} \text{ for } T_r > 1.5 \quad (A.7)$$

رسانایی حرارتی برای گاز خالص، kg، بالاتر از فشار اتمسفری، با استفاده از روش Thodos و Stiel به شرح

زیر محاسبه شد:

$$k_g = k'_g + \frac{A \times 10^{-4} (e^{F\rho r} + D)}{\left(\frac{T_c^{\frac{1}{6}} M^{\frac{1}{2}}}{P_c^{\frac{2}{3}}} Z_c^5\right)} \quad (A.8)$$

$\rho_r < 0.5$	$A = 2.702$	$F = 0.535$	$D = -1.000$
$0.5 < \rho_r > 2.0$	$A = 2.528$	$F = 0.670$	$D = -1.069$
$2.0 < \rho_r > 2.8$	$A = 0.574$	$F = 1.155$	$D = 2.016$

که در این معادله، Z_c عامل تراکم پذیری بحرانی و k_g رسانایی گرمایی گاز در T و فشار اتمسفری به شرح

زیر می باشد:

$$k_g = 4.45 \times 10^{-7} T_r \frac{C_{pg}}{\lambda} \quad (A.9)$$

که در آن:

$$\lambda = T_c^{1/6} M^{1/2} \left(\frac{101.325}{P_c}\right)^{2/3} \quad (A.10)$$

A.3 پارامترهای انتقال جرم و حرارت برای جذب کینتیکی
پارامترهای مدل متوسط با معادلات ذکر شده محاسبه می گردد و از آنها در شبیه سازی استفاده شد،
مراحل جذب، گرمایش ۱ و ۲ در جدول A3 ذکر می شود.

مرحله		Zeolite 13X	آلومینای فعال
جذب	$k_{avg}(\frac{1}{s})$		
	بخار آب	0.00098	0.00014
	مرکاپتان	0.00093	
	کربن دی اکسید	0.00141	0.008205
	هیدروکربن های سنتگین	0.00731	
	$D_{ax,avg}(\frac{cm^2}{s})$		
	بخار آب	1.7028	2.4177
	مرکاپتان	1.7031	2.4182
	کربن دی اکسید	1.7021	2.4171
	هیدروکربن های سنتگین	1.7025	2.4172
مرحله ۱ گرمایش	$k_{ax,avg}(\frac{w}{m.k})$	5.848	5.941
	$k_{i,avg}(\frac{kw}{m^2.k})$	3.1621	4.1246
	$k_{avg}(\frac{1}{s})$		
	بخار آب	0.00991	0.0114
	مرکاپتان	0.01565	

ضمیمه

مدلسازی و شبیه سازی فرآیند جذب نوسانی فشار - دما به منظور حذف مرکاپتان از گاز طبیعی مرطوب

مرحله ۲ گرمایش	کربن دی اکسید	1.6754	2.3655
	هیدروکربن های سنگین	1.6753	2.3651
	$k_{ax,avg}(\frac{w}{m.k})$	0.574	0.598
	$k_{i,avg}(\frac{kw}{m^2.k})$	0.7142	0.903
	$k_{avg}(\frac{1}{s})$		
	بخار آب	0.0311	0.051
	مرکاپتان	0.0592	
	کربن دی اکسید	0.0057	1.1369
	هیدروکربن های سنگین	0.0126	
	$D_{ax,avg}(\frac{cm^2}{s})$		
	بخار آب	2.0912	2.9657
	مرکاپتان	2.0927	2.9737
	کربن دی اکسید	2.0919	2.9682
	هیدروکربن های سنگین	2.0899	2.9591
	$k_{ax,avg}(\frac{w}{m.k})$	0.4548	0.4564
	$k_{i,avg}(\frac{kw}{m^2.k})$	0.7541	0.9654

Abstract:

Simulation of the pressure-temperature oscillation (PTSA) process was performed during six consecutive phases of cyclic operation to remove mercaptans from natural gas in a commercial two-bed commercial six-bed adsorption system. Its feed is a mixture of methane with water vapor, carbon dioxide, heavy hydrocarbons (C₃ +) and mercaptan impurities. This process works in cyclic mode to continuously reduce the mercaptan content from 134 to less than 10 ppmv, which is the standard level in environmental regulations. The substrate consists of two layers of activated alumina, which specifically removes water vapor and 13X zeolite, respectively, to remove mercaptan from natural gas. Cycle stages such as adsorption at high pressure, pressure reduction, heating in two stages by purification of hot pure natural gas, column cooling and increasing pressure by feed supply were simulated sequentially. Dynamic model equations are made up of quadratic equilibria; Mercaptans model molecule, heavy hydrocarbon model molecule, carbon dioxide and water vapor in natural gas, total mass equilibrium, pressure drop equation and two energy balances consisting of solid and gas phases in the adiabatic column. It was observed that the cyclic absorption process approaches the steady state after seven cycles of program execution. The predicted molar fractions of this process were compared with the actual results and a good consistency was observed between the real data and the simulated results. Effective process parameters were investigated through parametric analysis of process efficiency. The pressure in the adsorption stage, the ratio of the refining process to the feed in the regeneration stage and the temperature of the heating stages 1 and 2 were the most important parameters affecting the efficiency of natural gas purification. In order to save energy, suggestions were made to improve the design conditions without significantly affecting the performance of the treatment.

Keywords: Simulation, Natural gas refining, Mercaptan removal, Cyclic adsorption process



Energy Institute of Higher Education

Modeling and simulation of pressure-temperature oscillation absorption process to remove mercaptan from wet natural gas

**A Thesis Submitted in Partial Fulfillment of the Requirement for the
Degree of Master of Science in Mechanical Engineering - Energy
Conversion Trend**

**By:
Reza savoji fard**

**Supervisor:
Dr. Yousef Yasi
Dr. Heydar Maddah**

Spring 2021